

一般社団法人 軽金属学会 第 132 回春期大会プログラム

- 主催：一般社団法人軽金属学会
後援：公益財団法人軽金属奨学会
協賛：一般社団法人日本アルミニウム協会、一般社団法人日本マグネシウム協会、一般社団法人日本チタン協会、
一般社団法人日本塑性加工学会、公益社団法人日本鑄造工学会、一般社団法人軽金属溶接協会、
公益社団法人日本金属学会、一般社団法人日本鉄鋼協会、公益社団法人日本材料学会、
一般社団法人日本機械学会、一般社団法人日本ダイカスト協会、一般社団法人軽金属製品協会、
公益社団法人自動車技術会、公益社団法人日本顕微鏡学会、一般社団法人溶接学会、
日本バイオマテリアル学会、一般社団法人粉体粉末冶金協会
- 会期：2017年5月19日(金)～21日(日)
会場：名古屋大学東山キャンパス ES総合館・IB電子情報館・NIC館、他
(〒464-8601 愛知県名古屋市千種区不老町)
地下鉄名城線 名古屋大学駅下車すぐ
- 懇親会会場：ホテルメルパルク名古屋
(〒461-0004 愛知県名古屋市東区葵3-16-16 Tel (052)937-3535 (代表))
JR千種駅(地下鉄千種駅)1番出口すぐ

行事・プログラム：

5月19日(金) 見学会

12:50～17:00 知の拠点あいち、あいちシンクロトン光センター、トヨタ博物館

5月20日(土)

9:00～11:50 一般講演

12:00～ 女性会員の会 (工学部5号館523教室)

12:10～13:00 企業交流会ショートプレゼンテーション (ES総合館1F ES会議室)

13:00～14:30 ポスターセッション (ES総合館1F ESホール・NIC館1F エントランスホール)

14:40～15:50 定時総会・理事会、表彰式 (IB電子情報館2F IB大講義室)

平成29年度定時総会

第47回理事会

名誉会員推戴

第20回軽金属学会賞

第19回軽金属学会功労賞

第15回軽金属功績賞

16:00～16:50 第20回軽金属学会賞受賞講演 (IB電子情報館2F IB大講義室)

「アルミニウム合金の塑性変形挙動とその高性能化を目指して」

名古屋大学名誉教授 金武 直幸 君

17:00～18:00 市民フォーラム (IB電子情報館2F IB大講義室)

「スーパーカミオカンデとニュートリノ」

名古屋大学宇宙地球環境研究所 伊藤 好孝 教授

18:30～20:30 懇親会 (ホテルメルパルク名古屋)

5月21日(日)

- 9:00~16:10 一般講演
9:00~14:20 テーマセッション1「難燃性マグネシウム合金展伸部材創製のための最新技術開発6」(第3会場)
9:00~16:10 テーマセッション2「アルミニウム合金の熱処理に関連した最近の原子空孔・溶質クラスター・GPゾーンおよび時効析出研究とその検出方法2」(第4会場)
12:10~13:00 若手の会(工学部5号館523教室)

5月20日~21日 機器・カタログ展示(ES総合館1Fエントランスホール)

5月20日~21日 企業交流会・支部展示(ES総合館1F ES会議室)

案内:

■講演時間: 一般講演は講演15分、質疑応答5分です。

■総合受付: ES総合館1Fエントランスホール 8:15受付開始

■講演会場:

会場	棟	階	教室名
第1会場	ES総合館	2F	ES022
第2会場		2F	ES024
第3会場		2F	ES025
第4会場	IB電子情報館	1F	IB015
第5会場		1F	IB014
第6会場		1F	IB013

■会員休憩室・試写室: IB012(休憩室)、ES023(休憩室・試写室)

■会期中の昼食: 生協(土曜のみ)が利用できます。

ES館1F レストランエジロー, NIC館1F シアトルエスプレスカフェ, IB館1F IBカフェ, 地階コンビニは両日とも利用できます。キャンパス外のレストラン・コンビニ(徒歩片道10~15分)も利用できます。

■会場へのアクセス:

地下鉄名城線「名古屋大学」駅下車 3番出口すぐ

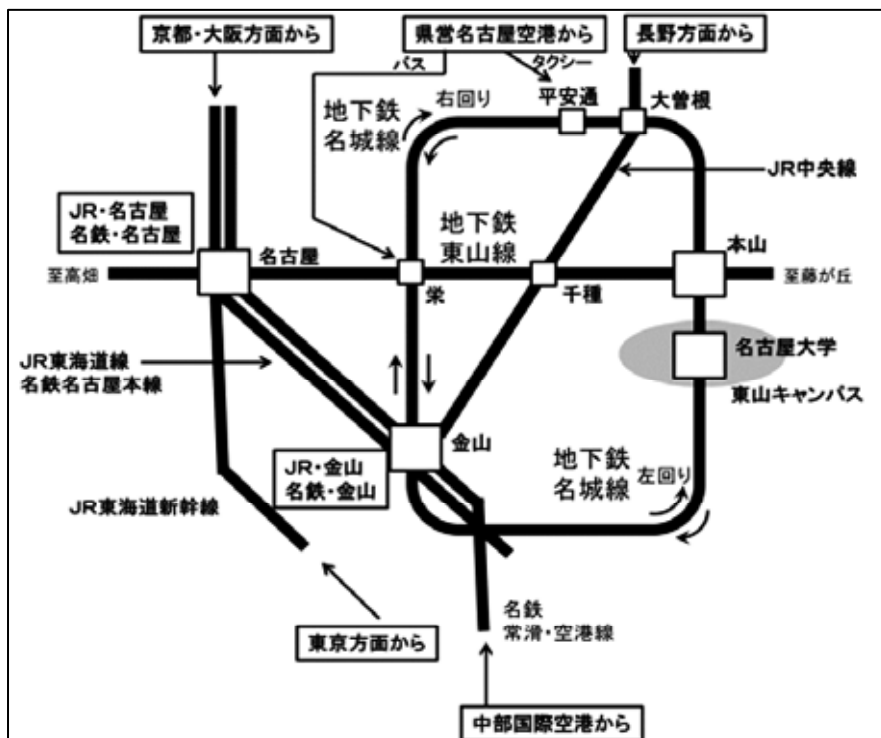
※大学構内駐車場の利用は出来ません。公共交通機関をご利用の上ご来場願います。

※詳細および最新情報は下記アドレスよりご確認ください。

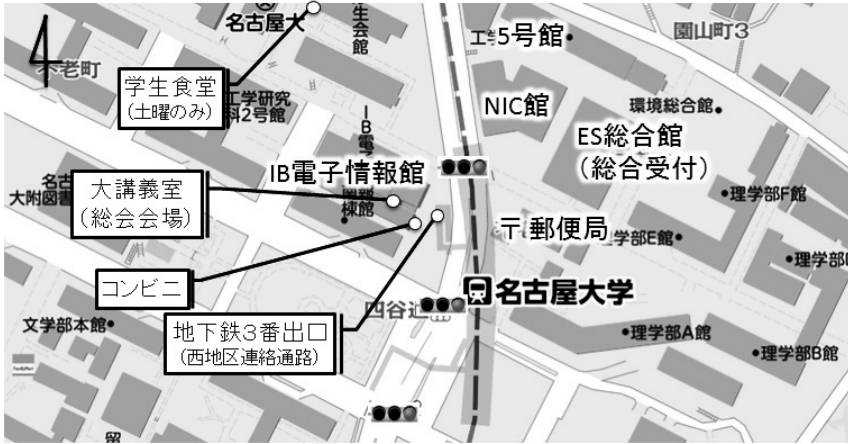
- ・名古屋大学 東山キャンパス 交通アクセス <http://www.nagoya-u.ac.jp/access/index.html>
- ・名古屋大学 東山キャンパスマップ <http://www.nagoya-u.ac.jp/access-map/index.html>

※主要駅からのアクセス

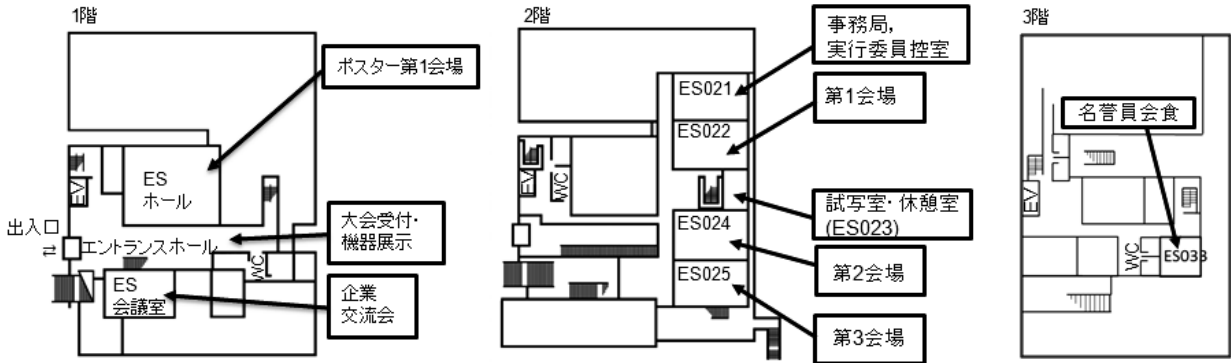
1. JR 名古屋駅から 所要時間:約 25~30 分
地下鉄東山線(藤が丘行)「名古屋駅」→「本山駅」(15分)、
地下鉄名城線[右回り]に乗り換え →「名古屋大学駅」(2分)
2. 金山駅(JR・名鉄・地下鉄名城線)から 所要時間:約 21 分
地下鉄名城線[左回り]「金山駅」→「名古屋大学駅」(21分)
3. 中部国際空港「セントレア」から所要時間:約 60 分
名鉄常滑・空港線「中部国際空港駅」→「金山駅」下車
地下鉄名城線[左回り]に乗り換え→「名古屋大学駅」(21分)



■名古屋大学東山キャンパスマップ会場周辺地図:

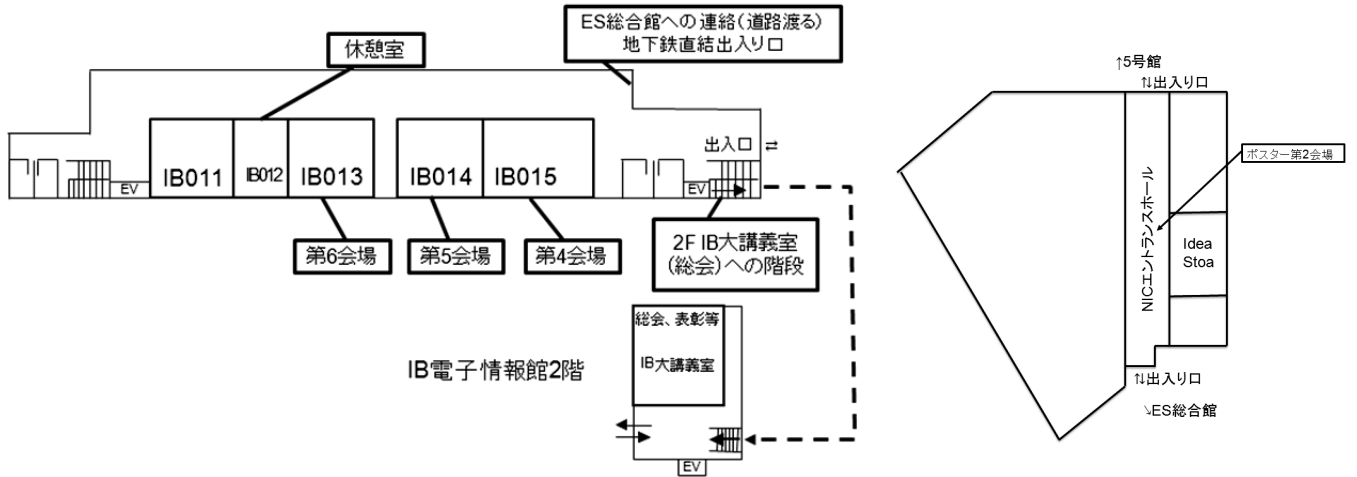


■ES 総合館:

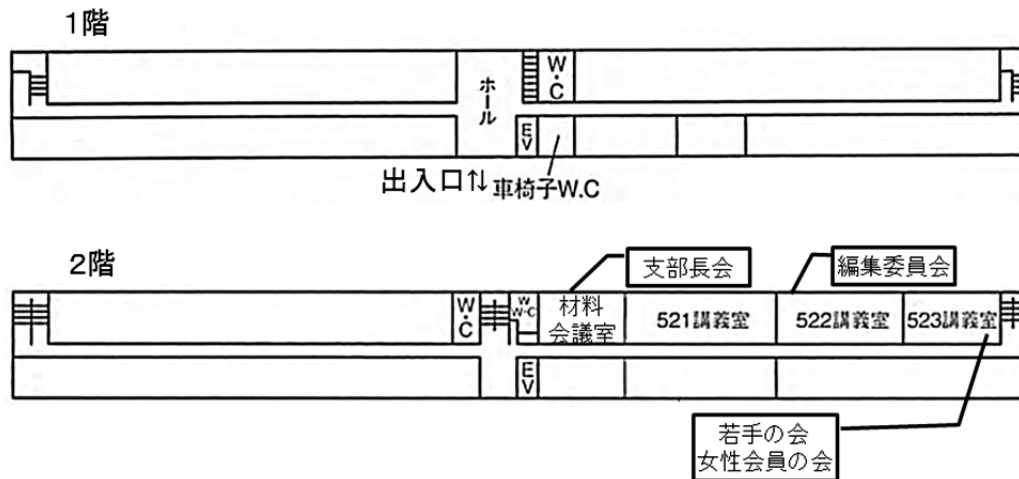


■IB 電子情報館中棟、NIC 館(ポスター会場):

IB 電子情報館1階



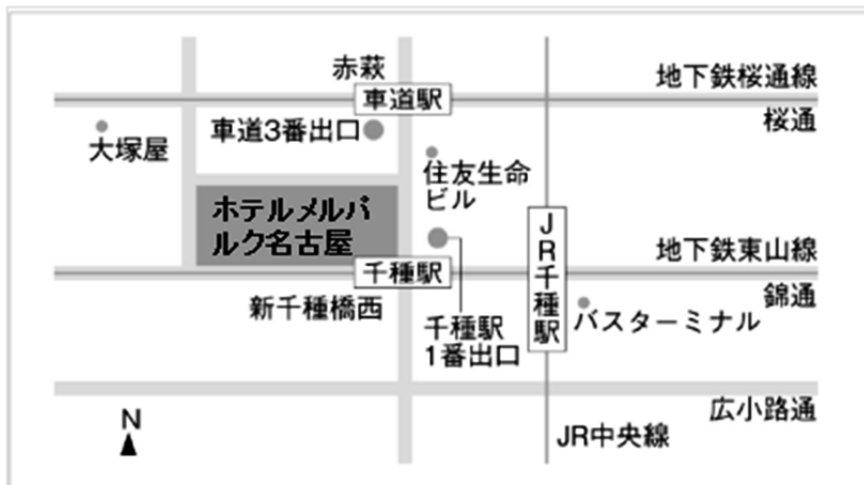
■工学部5号館:支部長会、編集委員会、若手の会、女性会員の会



■懇親会会場: ホテルメルパルク名古屋 瑞雲東

地下鉄東山線千種駅(1番出口からすぐ)

名古屋大学(名城線左廻り)-本山(乗換:東山線・栄方面:約15分)



軽金属関係の新卒就職サイト「ライトメタルリクルート」のお知らせ



軽金属学会では3月1日から維持会員企業の新卒就職サイト「ライトメタルリクルート」をオープンしています。

軽金属学会 WEB ページ(<http://www.jilm.or.jp/society/>)で左のバナーをクリックすると18社のバナーが表示され、各社の採用情報サイトにアクセスできます。

展示・ショートプレゼンテーション

第132回春期大会では軽金属に関わる企業(維持会員各社、東海地区企業)の展示・紹介の場を設け、軽金属学会会員並びに来場される方々との技術・人材交流の場として活用していただく「企業交流会」を企画しました。

会場にお越しになり、軽金属関連企業の技術研究や商品展開例を是非ご覧ください。ショートプレゼンテーションも実施します。学生の参加も大歓迎です。企業と企業、学生と企業の交流促進を図り、軽金属学会の活性化に繋がりたいと考えております。

- 日時 2017年5月20日(土)10:00-15:00、5月21日(日) 9:00-13:00
- 場所 名古屋大学東山キャンパス ES 総合館 1F ES 会議室
20日コアタイム 12:00-13:00 にショートプレゼンテーションを実施予定

■出展企業

・技術・商品の紹介

株式会社神戸製鋼所
三協立山株式会社
株式会社 UACJ
三菱アルミニウム株式会社
日軽パネルシステム株式会社

・東海地区企業紹介

ユーアイ精機株式会社
パルステック工業株式会社
ヤマハ発動機株式会社
新東工業株式会社

軽金属学会入会のご案内

あなたも軽金属学会に入会して、 新発想、新技術をとともに探ってみませんか。

会員の種類と年会費

会員特典

正会員	学生会員	維持会員（企業・団体）
8,000円	4,000円	1口 50,000円（1口以上）

※入会金はありません。
※会計年度は4月から3月です。

正会員・学生会員の特典

- 学会誌「軽金属」が毎月無料で配本されます。「軽金属」には研究論文、解説、連載講座などが掲載され、貴重な文献資料として利用できます。
- 学会誌「軽金属」への投稿、春秋講演大会での講演発表ができます。
- 春秋講演大会、シンポジウム、セミナーなどに会員価格で参加できます。
- 研究部会報告書、春秋講演大会講演概要集、シンポジウムテキストなど、軽金属学会発行の刊物を会員割引(20%以上)で入手できます。
- 研究部会活動に参加することができます。
- 軽金属学会賞、軽金属学会功労賞、軽金属功績賞、軽金属躍進賞、軽金属奨励賞、軽金属論文賞、軽金属論文新人賞、小山田記念賞、高橋記念賞などの表彰制度により、軽金属に関する研究・技術開発活動に対する高い社会的評価を得ることができます。

維持会員の特典

- 会社（会社または事業所単位）を1単位として口数に応じて以下の特典があります。

特典	1口	2～9口	10口以上
1. 会誌「軽金属」(毎月発行)の贈呈	1部	1部	2部
2. 春秋講演大会講演概要集の贈呈	1部	1部	2部
3. シンポジウムテキスト(年2回程度発行)の贈呈	1部	1部	2部
4. 軽金属セミナーテキスト(年2回程度発行)の贈呈	1部	1部	2部
5. 研究部会報告書の贈呈	—	1部	2部
6. 国際会議プロシーディング(随時)の贈呈	—	1部	2部
7. 維持会員紹介を会誌に無料掲載	維持会員紹介記事を1回会誌に掲載できます。 維持会員名簿を年1回一覧表形式で会誌に掲載します。		
8. 学会主催行事の参加費割引	会員価格で参加できます。 ※新規入会の場合は入会年度のみ、講演大会、シンポジウム、セミナーに限り、3回（1口で1名）無料参加できます。		
9. 工場見学会参加	支部主催の工場見学会に参加できます。		
10. 学会ホームページとのリンク	学会ホームページの維持会員一覧に御社企業名を掲載でき、さらに御社ホームページへリンクさせることができます。		
11. 維持会員技術相談室の利用	Web上の維持会員技術相談室を通じて、軽金属に関する質問、技術開発の相談ができます。		
12. 表彰制度	優れた研究開発活動を行った中堅企業維持会員を表彰します。		
13. 研究部会活動への参加	研究部会での活動によって、新技術などを探索することができます(別途会費が必要です)。		
14. 学会からの情報発信	学会本部および支部で開催する行事などの情報を適時メールで配信いたします。		

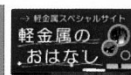
軽金属学会ホームページ

入会・会員

入会の手続きをご案内しております。



▶ <http://www.jilm.or.jp/>



軽金属スペシャルサイトとして意外と知らない軽金属のひみつを平易に解説しています。

アルミニウムの製造工程

アルミニウム板・押出材の製造工程動画をご覧いただけます。

維持会員技術相談室

維持会員の方はこちらより、軽金属についての疑問、質問、技術開発の相談をお寄せ下さい。

一般社団法人 軽金属学会
第132回春期大会プログラム

会 期:2017年5月19日(金)~21日(日)(19日(金)は見学会)
大会会場:名古屋大学東山キャンパス (地下鉄名城線 名古屋大学駅3番出口すぐ)
懇親会会場:ホテル メルパルク名古屋 (地下鉄東山線 千種駅1番出口すぐ)

講演会場、ポスター会場での発表者の許可を得ない撮影はご遠慮ください。

講演セッション・行事一覧

第1日目:2017年5月20日(土)

会場 時間	第1会場	第2会場	第3会場	第4会場	第5会場	第6会場
	ES総合館 2F ES022	ES総合館 2F ES024	ES総合館 2F ES025	IB電子情報館中棟 1F IB015	IB電子情報館中棟 1F IB014	IB電子情報館中棟 1F IB013
9:00~10:20	自動車 (力学特性)1 座長 池田賢一 講演 1 ~ 4	塑性変形 挙動1 座長 西田進一 講演 26 ~ 29	自動車 (熱交) 座長 吉野路英 講演 51 ~ 54	時効析出 (アルミニウム) 座長 有賀康博 講演 75 ~ 78	合金開発・ 設計 座長 北原弘基 講演 99 ~ 102	強ひずみ 加工 座長 久米裕二 講演 119 ~ 122
休憩						
10:30~11:50	自動車 (力学特性)2 座長 中西英貴 講演 5 ~ 8	塑性変形 挙動2 座長 上野洋一 講演 30 ~ 33	自動車 (溶解・ casting) 座長 坂口信人 講演 55 ~ 58	航空機・自動車 (超々 ジュラルミン) 座長 足立大樹 講演 79 ~ 82	粉末成形 座長 久保田正広 講演 103 ~ 106	生体材料 座長 三浦永理 講演 123 ~ 126
昼食 / 企業交流会ショートプレゼンテーション(ES会議室 12:00~13:00)、女性会員の会(工5号館523 12:00~13:00)						
13:00~14:30	ポスターセッション(ESホール、NICエントランス)					
休憩						
14:40~15:50	定時総会・表彰式(IB電子情報館 2F IB大講義室)					
休憩						
16:00~16:50	軽金属学会賞受賞講演「アルミニウム合金の塑性変形挙動とその高性能化を目指して」 名古屋大学名誉教授 金武 直幸 君(IB電子情報館 2F IB大講義室)					
休憩						
17:00~18:00	市民フォーラム 名古屋大学宇宙地球環境研究所 伊藤 好孝 教授 内容「スーパーカミオカンデとニュートリノ」(IB電子情報館 2F IB大講義室)					
移動						
18:30~20:30	懇親会(ホテル メルパルク名古屋)					

第2日目:2017年5月21日(日)

会場 時間	第1会場	第2会場	第3会場	第4会場	第5会場	第6会場
	ES総合館 2F ES022	ES総合館 2F ES024	ES総合館 2F ES025	IB電子情報館中棟 1F IB015	IB電子情報館中棟 1F IB014	IB電子情報館中棟 1F IB013
9:00~10:20	電子材料・ 新用途 座長 小林正和 講演 9 ~ 12	チタン (疲労) 座長 上田恭介 講演 34 ~ 37	T1① 座長 宮下幸雄 講演 59 ~ 62	T2① 座長 松田健二 講演 83 ~ 85	腐食防食1 (自動車) 座長 境 昌宏 講演 107 ~ 110	航空機・ 宇宙(変形) 座長 半谷禎彦 講演 127 ~ 130
休憩						
10:30~11:50	マグネシウム1 (溶解・ casting) 座長 山口 毅 講演 13 ~ 16	チタン (力学特性) 座長 戸部裕史 講演 38 ~ 41	T1② 座長 瀧川順庸 講演 63 ~ 66	T2② 座長 西村克彦 講演 86 ~ 90	腐食防食2 座長 阿相英孝 講演 111 ~ 114	接合1 (自動車ほか) 座長 小椋 智 講演 131 ~ 134
昼食 / 若手の会(工5号館523 12:00~13:00)						
13:00~14:20	マグネシウム2 座長 斎藤尚文 講演 17 ~ 20	水素・ 微量元素1 座長 山田浩之 講演 42 ~ 45	T1③ 座長 行武栄太郎 講演 67 ~ 70	T2③ 座長 寺田大将 講演 91 ~ 93	表面処理 座長 大谷良行 講演 115 ~ 118	接合2 (自動車) 座長 福田敏彦 講演 135 ~ 138
休憩						
14:50~16:10	マグネシウム3 座長 鈴木真由美 講演 21 ~ 25	水素・ 微量元素2 座長 倉本 繁 講演 46 ~ 50	解析方法 座長 山本篤史郎 講演 71 ~ 74	T2④ 座長 廣澤涉一 講演 94 ~ 98		接合3 (自動車) 座長 原田陽平 講演 139 ~ 142

T1:テーマセッション「難燃性マグネシウム合金展伸部材創製のための最新技術開発6」

T2:テーマセッション「アルミニウム合金の熱処理に関連した最近の原子空孔・溶質クラスター・GPゾーンおよび時効析出研究とその検出方法2」

第1日目 2017年5月20日(土)

第1会場 (ES総合館 2F ES022)		第2会場 (ES総合館 2F ES024)		第3会場 (ES総合館 2F ES025)		
自動車(力学特性)1 池田賢一(北海道大)		塑性変形挙動1 西田進一(群馬大)		自動車(熱交) 吉野路英(三菱アルミ)		
9:00~ 10:20	1 Al-Mg-Si合金の自然時効における電気抵抗と磁化の時間変化／富山大 ○(院)畠山大智, 西村克彦, 並木孝洋, 松田健二, 布村紀男, 理研センター 松崎慎市郎	26 数値解析によるアルミニウム合金押出成形材の肉厚変動現象の解明／日本軽金属 ○林 沛征	51 シルコニウムを添加したAl-Mn系合金ファイナ材の再結晶挙動に及ぼす予備加熱条件の影響／日本軽金属 ○下坂大輔, 鈴木健太, 佐々木留浩, 大和田安志	52 アルミニウムのろう流動に及ぼす流路となるプレージングシートへの加工の影響/UACJ ○成田 渉, 大橋裕介	53 双ロールキャストを使用したクラッド材の鑄造/大阪工業大 ○羽賀俊雄, (院)岡村健太郎, (院)水野 頌	54 単層材を用いた新しい付方法/UACJ ○黒崎友仁, 村瀬 崇
	2 Al-Mg-Si合金のセラレージョン挙動とクラスタ形成の関係/神戸製鋼 ○橋本貴浩, 秋吉竜太郎, 伊原健太郎, 高木康夫	27 押出解析における熱伝達率の決定手法の検討/三菱アルミ ○鈴木智典, 竹下晴久, 福増秀彰, 富山大 (院)谷村将吾, 沖田真吾, 高辻則夫	28 二軸パルジ試験法を用いたA6082押出型材の材料モデリングと成形限界測定/東京農工大 ○(院)長井圭祐, (院)高木翔平, (学)広瀬憲太, 桑原利彦, FORD Andrew Ilinich, George Luckey	55 電子ビーム積層造形で作製したAlSi10Mg合金の機械特性評価/東北大 ○(院)山川剛平, 東北大金研 卞華康, 青柳健大, 千葉晶彦	56 Al-Mg ₂ Si擬二元共晶の晶出挙動に及ぼすAlPの影響/富山大 ○(院)増田万智子, (学)松谷貴晃, (院)小笹智也, 池野 進, 才川清二, 日軽エムシーアルミ 堀川 宏	57 Al-10%Si鑄造合金の熱処理によるSi粒子形態変化と力学特性/豊橋技科大 ○(院)古田将吾, 小林正和, 青葉知弥, 三浦博己
	3 Al-7wt.%Si-0.3wt.%Mg鑄造材の473Kでの微細組織観察/富山大 ○(院)牧田悠暉, (院)吉野太規, 李昇原, 才川清二, 池野 進, 松田健二	29 矩形バーリング加工における逐次接触パンチによる伸び/フランジ成形性向上/UACJ ○上野洋一, UWH 山田 豊, UACJ 浅野峰生	30 純マグネシウムの曲げ変形挙動の結晶方位依存性/熊本MRC ○安藤新二, 熊本大 (学)福森亮太, (院)廣川祐太, 熊本大IPPS 北原弘基	58 急冷凝固させた過共晶Al-Si合金中の初晶ケイ素の晶出に及ぼすクロムの効果/日本軽金属 ○鈴木 聡, 織田和宏		
	4 砂型鑄造後にT6処理したAl-7%Si-0.3%Mg系合金の時効硬化挙動/富山大 ○(院)高橋弘大, (院)増田万智子, 池野 進, 才川清二		31 Mg合金単結晶の圧子圧入変形挙動に与える合金元素の影響/熊本大 ○北原弘基, 高松洋平, 津志田雅之, 安藤新二			
5 6000系アルミニウム合金の引張変形に伴うき裂発生に及ぼす第二相粒子の影響/茨城大 ○(院)赤羽剛希, 伊藤吾朗, 小林純也		32 マイクロピラー圧縮試験を用いた高所力学特性評価のアルミニウム合金への適用/名古屋大 ○高田尚記, (院)竹安崇一郎, 小橋 眞				
6 Al-Mg-Si-Cu系合金の高温時効挙動におよぼす予備時効の影響/神戸製鋼 ○堀 雅是		33 Al-Fe合金板の加工硬化挙動に及ぼす成分および工程条件の影響/神戸製鋼 ○田淵佳明, 星野晃三				
7 Al-Mg-Si合金の時効硬化に対するMg/Si比, (Mg+Si)量の影響/富山大 (院)吉野太規, 李昇原, 池野 進, ○松田健二						
8 6016合金と6014合金における引張変形中の転位増殖および動的回復挙動の観察/神戸製鋼 ○越能悠貴, 有賀康博, 九州大(院)向 隼平, 金子賢治						

休憩(10:20~10:30)

第1会場 (ES総合館 2F ES022)		第2会場 (ES総合館 2F ES024)		第3会場 (ES総合館 2F ES025)		
自動車(力学特性)2 中西英貴(UACJ)		塑性変形挙動2 上野洋一(UACJ)		自動車(溶解・鑄造) 坂口信人(UACJ)		
10:30~ 11:50	5 6000系アルミニウム合金の引張変形に伴うき裂発生に及ぼす第二相粒子の影響/茨城大 ○(院)赤羽剛希, 伊藤吾朗, 小林純也	30 純マグネシウムの曲げ変形挙動の結晶方位依存性/熊本MRC ○安藤新二, 熊本大 (学)福森亮太, (院)廣川祐太, 熊本大IPPS 北原弘基	55 電子ビーム積層造形で作製したAlSi10Mg合金の機械特性評価/東北大 ○(院)山川剛平, 東北大金研 卞華康, 青柳健大, 千葉晶彦	56 Al-Mg ₂ Si擬二元共晶の晶出挙動に及ぼすAlPの影響/富山大 ○(院)増田万智子, (学)松谷貴晃, (院)小笹智也, 池野 進, 才川清二, 日軽エムシーアルミ 堀川 宏	57 Al-10%Si鑄造合金の熱処理によるSi粒子形態変化と力学特性/豊橋技科大 ○(院)古田将吾, 小林正和, 青葉知弥, 三浦博己	58 急冷凝固させた過共晶Al-Si合金中の初晶ケイ素の晶出に及ぼすクロムの効果/日本軽金属 ○鈴木 聡, 織田和宏
	6 Al-Mg-Si-Cu系合金の高温時効挙動におよぼす予備時効の影響/神戸製鋼 ○堀 雅是	31 Mg合金単結晶の圧子圧入変形挙動に与える合金元素の影響/熊本大 ○北原弘基, 高松洋平, 津志田雅之, 安藤新二	32 マイクロピラー圧縮試験を用いた高所力学特性評価のアルミニウム合金への適用/名古屋大 ○高田尚記, (院)竹安崇一郎, 小橋 眞			
	7 Al-Mg-Si合金の時効硬化に対するMg/Si比, (Mg+Si)量の影響/富山大 (院)吉野太規, 李昇原, 池野 進, ○松田健二		33 Al-Fe合金板の加工硬化挙動に及ぼす成分および工程条件の影響/神戸製鋼 ○田淵佳明, 星野晃三			
	8 6016合金と6014合金における引張変形中の転位増殖および動的回復挙動の観察/神戸製鋼 ○越能悠貴, 有賀康博, 九州大(院)向 隼平, 金子賢治					

第1日目 2017年5月20日(土)

第4会場 (IB電子情報館中棟 1F IB015)	第5会場 (IB電子情報館中棟 1F IB014)	第6会場 (IB電子情報館中棟 1F IB013)
<p>時効析出(アルミニウム) 有賀康博(神戸製鋼)</p>	<p>合金開発・設計 北原弘基(熊本大)</p>	<p>強ひずみ加工 久米裕二(山形大)</p>
<p>75 Al-1.0mass%Mg-Ge合金の種々の添加元素における機械的性質と時効組織/富山大 ○(院)片岡朋哉, (院)佐藤達也, 李昇原, 池野進, 松田健二</p>	<p>99 アルミニウム合金半連続鋳造における底部変形に及ぼす鋳造条件の影響/UACJ ○坂口信人</p>	<p>119 超微細粒を有するhcp金属における活動すべり系/兵庫県立大 ○足立大樹, (学)山下雄大, (学)上田伊織</p>
<p>76 時効処理を施したAl-Mg₂Ge(-Ag)合金のTEM観察/富山大 ○(院)佐藤達也, 李昇原, 松田健二, NTNU Sigurd Wenner, SINTEF Calin D. Marroara, NTNU Randi Holmestad, 富山大池野進</p>	<p>100 Al-Se合金の製造に用いるふっ化物溶融塩に対するSc₂O₃の溶解度/日本軽金属 ○手島翼, 杉田薫, 日軽金アクト 谷津倉政仁</p>	<p>120 A5052アルミニウム合金の繰返し重ねね接合圧延および焼きなましによるハイモーター結晶粒組織の形成/和歌山高専 ○樫原恵蔵, 京都大 辻 伸泰</p>
<p>77 遷移金属添加した6000系アルミニウム合金の時効析出挙動/富山大 ○(院)黒田泰孝, 李昇原, 池野進, 松田健二</p>	<p>101 軽量ハイエントロピー合金の合金設計と鋳造法による試作/大阪大 ○永瀬丈嗣, 大阪府立産総研 松室光昭, 武村守, 広島県総合技研 寺山朝, 府山伸行</p>	<p>121 多軸鋳造加工によるAl-Mg-Si合金の機械的性質の変化/豊橋技科大 ○青葉知弥, 小林正和, 三浦博己</p>
<p>78 CuとAgを添加したAl-1.0%wtMg₂Si合金の時効析出挙動/富山大 ○(院)松本 徹, 李昇原, 池野進, 松田健二</p>	<p>102 計算状態図を基にしたアルミニウム基超合金の設計の可能性/名古屋大 ○高田尚記, (院)石原雅人, (院)岡野大幹, 小橋真</p>	<p>122 多軸鋳造を施したAl-Al₃Ti複相材料のAl₃Ti粒子分布に及ぼす粒子形状の影響/名古屋工大 ○(院)高山晃平, 佐藤尚, 知場三周, 渡辺義見</p>

9:00~
10:20

休憩(10:20~10:30)

第4会場 (IB電子情報館中棟 1F IB015)	第5会場 (IB電子情報館中棟 1F IB014)	第6会場 (IB電子情報館中棟 1F IB013)
<p>航空機・自動車(超々ジュラルミン) 足立大樹(兵庫県立大)</p>	<p>粉末成形 久保田正広(日本大)</p>	<p>生体材料 三浦永理(兵庫県立大)</p>
<p>79 Al-11mass%Zn-3mass%Mg(-Ag)合金の時効硬化挙動/大阪大 ○小椋智, 神戸製鋼 有賀康博, 高知琢哉, 神鋼メタルプロダクト 豊武孝太郎</p>	<p>103 ガスマイズ法による高靱性Mg-B-Sn-Zn系焼結合金の作製/都産技研 ○岩岡拓, 青沼昌幸</p>	<p>123 蛍光X線ホログラフィー法によるTi-20V合金のV近傍局所構造解析/宇都宮大 ○山本篤史郎, (院)吉田剛之, (学)塩田諒介, 名古屋工大 林好一, 広島市立大 八方直久, 熊本大 細川伸也</p>
<p>80 Al-Zn-Mg-Cu合金の機械的性質とTEM観察/富山大 (院)青木文謙 ○(院)有田竜馬, 李昇原, 松田健二, アイシン軽金属 西川知志, 吉田朋夫, 村上哲, 富山大 池野進</p>	<p>104 SPS法によるAl-Li合金焼結材の組織と機械的性質/長岡高専 ○青柳成俊, (学)広田逸彦, 長岡技科大 本間智之</p>	<p>124 第一原理計算によるTi-Nb-X形状記憶合金の変態ひずみ量の予測/大阪府立大 ○(院)南 大地, (学)嶋本 純, 上杉徳照, 瀧川順庸, 東 健司</p>
<p>81 高Zn/Mg比のAl-Zn-Mg合金における時効硬化へのCu添加の影響/富山大 ○(院)安元透, (院)有田竜馬, 李昇原, 松田健二, アイシン軽金属 西川知志, 吉田朋夫, 村上哲, 富山大 池野進</p>	<p>105 レーザー一種層造形したAl-Si-Mg合金の力学特性に及ぼす予加熱温度の影響/千葉工大 ○寺田大将, (院)荒井俊範, 九州大 光原昌寿, 中島英治, コイワイ 栗田健也, 永田佳彦, 小岩井修二, 安達 充</p>	<p>125 Effect of Fe addition as β-Stabilizer on Mechanical Properties of Ti-Zr Based Alloys for Biomedical Applications/東京工業大 ○(院)Yuduyanto Hadiwijaya, (院)岡井大河, 東京工大 小林郁夫</p>
<p>82 7000系合金の熱間圧延時の下部組織形成に及ぼす温度とひずみ速度の影響/UACJ ○包成一成, 藤森崇起, 田中宏樹</p>	<p>106 積層造形法による成分元素混合合粉からのチタン合金作製と形状付与の同時達成/大阪大 ○當代光陽, 永瀬丈嗣, (院)堀雄, 中野貫由</p>	<p>126 アルカリ水熱法によるAZ31合金への皮膜作製とその耐食性評価/名古屋大 (院)朱麗璋, ○(学)田中寛人, 名古屋大未来研 黒田健介, 興戸正純</p>

10:30~
11:50

第2日目 2017年5月21日(日)

第1会場 (ES総合館 2F ES022)		第2会場 (ES総合館 2F ES024)		第3会場 (ES総合館 2F ES025)		
9:00~ 10:20	電子材料・新用途 小林正和(豊橋技科大)	チタン(疲勞) 上田恭介(東北大)	T1① 宮下幸雄(長岡技科大)			
	9 Al-3.8mass%Fe高共晶合金OCC線材の凝固組織と結晶方位に及ぼす鋳造速度の影響/千葉工大 ○(院)澤谷拓馬, (学)保戸塚一輝, (学)村上直輝, 本保元次郎	34 332K113変形双晶導入による低コストβ型Ti-Mn系合金の疲勞特性改善/大阪大 ○趙 研, (院)古畑弘樹, (学)行 耕平, 東北大 新家光雄, 大阪大 安田弘行			59 難燃性マグネシウム合金製の鉄道車両構体の製作に向けた技術基調 課題/鉄道総研 ○上東直孝, 三協立山 清水和紀, 総合車講演 向 石川 武, 鉄道総研 森 久史	
	10 Al-Ca合金の金属組織に及ぼす鉄添加の影響と凝固のその場観察/日本軽金属 ○谷口諒輔, 倉 俊, 栗田翔平, 石渡保生, 京都大 安田秀幸	35 Ti-6Zr2Sの高サイクル疲勞特性に及ぼす微視組織の影響/物材機構 ○北嶋昌教, 萩原益夫, 江村 聡, 御手洗春子			60 高速鉄道車両用マグネシウム合金のMIG溶接/大阪府大 ○瀧川順庸, (学)越智真理子, 木ノ本伸線 上田光二, 木ノ本裕, 大阪府大 上杉徳照, 東 健司	
	11 高純度アルミニウムの軟化特性に及ぼす微量添加元素の影響/UACJ ○林 知宏, 田中宏樹	36 Ti-6Al-4V合金における微小き裂伝播挙動/九州大 ○(院)渡邊信太, 戸田裕之, JASRI 上杉健太郎, 竹内晃久			61 Mg-Al-Ca-Mn希薄合金TIG/MIG溶接材の微細組織と特性/物材機構 ○佐々木泰祐, 総合車輛製作所 石川 武, 木ノ本伸線 上田光二, 三協立山 清水和紀, 物材機構 宝野和博	
	12 Al-Fe系合金箔の延性に及ぼすFeとSi添加量の影響/三菱アルミ ○鈴木貴史, 遠藤昌也, 崔 祺, 茨城大 倉本 繁	37 針状組織から成るニアα型Ti-Al-Zr-Mo-Nb-Si合金のクリープ速度とミクロ組織寸法の関係/NIMS ○伊藤 勉, 北嶋昌教, 御手洗春子			62 高速押出用難燃マグネシウム合金の摩擦攪拌接合特性評価/茨城県工技セ ○行武栄太郎, 総合車輛製作所 石川 武, 三協立山 清水和紀, 大阪大接合研 藤井英俊	
	13 溶解保持した耐熱マグネシウム合金の溶湯品質/富山大(学)鹿野大貴, (院)加古博紀, 池野 進, ○才川清二	38 高酸素含有Ti-V合金の機械的特性と冷間加工性/東北大 ○(院)大宮正仁, 上田恭介, 成島尚之			63 High strength and formable Mg-Zn based alloy sheets microalloyed with Zr and Ca/NIMS ○B.C.Subh, T.Sasaki, M.Z.Bian, Nagaoka Univ. Tech T.Nakata, Nagaoka Univ. Tech. S.Kamado, NIMS K.Hono	
14 SrおよびREを添加したMg-Al系合金の組織と耐熱特性/富山大(院)山西由和, ○(院)加古博紀, 池野 進, 才川清二, 住友電工 水谷 学, 吉田克仁, 河部 望	39 Ti合金の高温強度におよぼすα ₂ 相の効果/NIMS ○御手洗春子, NIMS/芝浦工大(院)島上 溪, NIMS 松永紗英, 北嶋昌教, NIMS・香川高専 伊藤 勉			64 Effect of thermomechanical processing on the microstructure and mechanical properties in a Mg-Al-Ca-Mn-Zn alloy sheet/NIMS ○M.Z.Bian, T.Sasaki, B.C.Subh, Nagaoka Univ. Tech. T.Nakata, S.Kamado, NIMS K.Hono		
15 AZ91マグネシウム合金の溶湯表面の燃焼挙動/豊田中央研究所 ○川畑博之, 加藤 元, 北山功志郎, 日比加瑞馬, 八木祐介, 青木裕子	40 TEM内その場圧縮試験によるコムタルの変形機構解析/茨城大 ○(院)小野瀬航平, (院)柴山裕輝, 倉本 繁, 物材機構・九州大 大村孝仁, 物材機構 鈴木拓哉, 仲川枝里			65 Mg-3.0Al-0.4Mn (wt.%) 合金圧延材の諸性質に及ぼすCaおよびZn添加の影響/長岡技科大 ○(院)中田大貴, 徐 超, 佐々木泰祐, 鎌土重晴		
16 AZ91マグネシウム合金の溶湯表面の燃焼挙動におよぼすカルシウムの影響/豊田中央研究所 川畑博之, 加藤 元, ○北山功志郎, 日比加瑞馬, 八木祐介, 青木裕子	41 マイクロソフトと超音波の複合ピーニングによるチタン合金の疲勞改善/兵庫県立大 ○原田泰典, (院)佐伯優斗, 東洋精鋼 服部兼久			66 難燃性マグネシウム合金厚板材作製における圧延加工プロセスの影響/権田金属 ○福田裕太, 野田雅史		

休憩(10:20~10:30)

昼食/若手の会(工5号館523 12:00~13:00)

第2日目 2017年5月21日(日)

第4会場 (IB電子情報館中棟 1F IB015)		第5会場 (IB電子情報館中棟 1F IB014)		第6会場 (IB電子情報館中棟 1F IB013)	
T2① 松田健二(富山大)		腐食防食1(自動車) 境 昌宏(室蘭工大)		航空機・宇宙(変形) 半谷禎彦(群馬大)	
83	ミュオンスピン緩和法によるAl-Mg-Siの熱処理効果/富山大 基調 西村克彦, 松田健二, 布村紀男, 李昇原, 並木孝洋, 理研 講演 仁科七 松崎慎一郎, 渡邊功雄, 東京工大 里 達雄	107	塩化物水溶液中におけるアルミニウム合金の犠牲陽極作用に及ぼすpHの影響/三菱アルミ ○川上隆之, 岩尾祥平, 中西茂紀, 吉野裕英	127	Al-Cu-Mg系合金冷間圧延材の引張特性/茨城大 ○(院)藤澤竜星, (院)中島祐樹, 倉本 繁
84	時効硬化型Al合金の初期生成物の構造/富山大 ○松田健二 基調 講演	108	プレコートアルミニウム材の加工後耐食性に及ぼす下塗り層の影響/UACJ ○小澤武廣, 前園利樹	128	発泡アルミニウムの衝撃速度下における不均一変形評価/防衛大 ○山田浩之, (院)算野千尋, (学)宮首 拓, (院)立山耕平, 小笠原永久, 立命館大 渡辺圭子
85	Mg/Si比と自然時効時間が異なるAl-Mg-Si合金の二段時効挙動に及ぼすオウラスタ形態の影響/神戸製鋼 ○有賀康博, 小塚雅也, 里 達雄, 東京工大 (院)金聖寧, 小林都夫	109	Al塗装材の系錆腐食試験に及ぼすクロスカット形状の影響/UACJ ○三村達矢, 小林敏明, 島田隆登志, 大谷良行, 小山高弘, 児島洋一	129	ダイレスしごきスピニング加工によるアルミニウム合金薄板の穴広げ/高知高専 ○松本夢史, 徳弘慧司, 鈴木信行, 竹内 修
86	高純度Al-Zn-Mg-Cu合金の粒界破壊に及ぼす添加時効処理の影響/大阪府大 ○上杉徳照, (院)吉岡浩司, 瀧川順庸, 東 健司	110	6000系アルミニウム合金のエッチング表面に対するZnの影響/富山大 ○(院)戸室優佳, Hydro TakeshiSaito, OysteinBauger, NTNU SigurdWenner, SINTEF Calin.D.Marioara, NTNU RandiHolmestad, 富山大 李昇原, 池野 進, 松田健二	130	ダイレスしごきスピニングにより成形した円筒のひずみ分布/高知高専 ○徳弘慧司, 松本夢史, 鈴木信行, 竹内 修
87	3DAPを用いたアルミニウム合金プレージングシートにおけるMg含有犠牲材の自然時効挙動の解析/神戸製鋼 ○木村申平, 吉田健一郎, 鶴野招弘, 小塚雅也, 松本克史, 有賀康博	111	食塩水中におけるアルミニウム合金3003とCFRPとのガルバニック腐食/室蘭工大 ○境 昌宏, (学)高屋敷拓矢	131	ハット部材の構造性能に及ぼす接着剤の効果に関する基礎検討/神戸製鋼 ○巽 明彦, 高田 悟, 内藤純也, 太田陽介
88	プラズマチャージした純アルミニウム中の水素挙動/茨城大 (院)真中俊明, (院)橋本 明, ○伊藤吾朗	112	塩水乾燥線繰り返し環境におけるAlの腐食挙動に及ぼす異種金属粉の影響/UACJ ○大谷良行, 児島洋一	132	アルミニウムの共晶反応を利用した機能性ペースト開発/東洋アルミ ○鈴木紹太, 中原正博, 森下直哉, ダムリンマルワン
89	プラズマチャージしたアルミニウム合金の水素挙動/茨城大 ○(院)庄司章人, 伊藤吾朗	113	グルコン酸によるアルミニウム合金の腐食抑制効果に及ぼす金属カチオンの影響/北海道大 ○(院)大谷恭平, 坂入正敏, 日本軽金属 兼子 彬	133	めっきを利用したAl/Al ₂ O ₃ /Al/Fe積層材の作製/京都大 ○(院)山野友梨子, 梅田昌高, 馬淵 守, 京都工芸繊維大 (院)劉午陽, 飯塚高志
90	Al-Mg-Si合金におけるナノガラスの計算シミュレーション/富山大総合情報基盤センター ○布村紀男, 富山大 松田健二, 西村克彦	114	耐アルミニウム溶湯用コーティングの開発/道総研工試 ○高橋英徳, DBCシステム研究所 吉岡隆幸, 成田敏夫	134	金属樹脂積層板への固相スタッド接合における接合強度と組織に及ぼすスタッド形状の影響/東京工大 (院)浅倉太一, ○原田陽平, 熊井真次
9:00~ 10:20		10:20~10:30 休憩		10:30~ 12:10	
第4会場 (IB電子情報館中棟 1F IB015)		第5会場 (IB電子情報館中棟 1F IB014)		第6会場 (IB電子情報館中棟 1F IB013)	
T2② 西村克彦(富山大)		腐食防食2 阿相英孝(工学院大)		接合1(自動車ほか) 小椋 智(大阪大)	
86	高純度Al-Zn-Mg-Cu合金の粒界破壊に及ぼす添加時効処理の影響/大阪府大 ○上杉徳照, (院)吉岡浩司, 瀧川順庸, 東 健司	111	食塩水中におけるアルミニウム合金3003とCFRPとのガルバニック腐食/室蘭工大 ○境 昌宏, (学)高屋敷拓矢	131	ハット部材の構造性能に及ぼす接着剤の効果に関する基礎検討/神戸製鋼 ○巽 明彦, 高田 悟, 内藤純也, 太田陽介
87	3DAPを用いたアルミニウム合金プレージングシートにおけるMg含有犠牲材の自然時効挙動の解析/神戸製鋼 ○木村申平, 吉田健一郎, 鶴野招弘, 小塚雅也, 松本克史, 有賀康博	112	塩水乾燥線繰り返し環境におけるAlの腐食挙動に及ぼす異種金属粉の影響/UACJ ○大谷良行, 児島洋一	132	アルミニウムの共晶反応を利用した機能性ペースト開発/東洋アルミ ○鈴木紹太, 中原正博, 森下直哉, ダムリンマルワン
88	プラズマチャージした純アルミニウム中の水素挙動/茨城大 (院)真中俊明, (院)橋本 明, ○伊藤吾朗	113	グルコン酸によるアルミニウム合金の腐食抑制効果に及ぼす金属カチオンの影響/北海道大 ○(院)大谷恭平, 坂入正敏, 日本軽金属 兼子 彬	133	めっきを利用したAl/Al ₂ O ₃ /Al/Fe積層材の作製/京都大 ○(院)山野友梨子, 梅田昌高, 馬淵 守, 京都工芸繊維大 (院)劉午陽, 飯塚高志
89	プラズマチャージしたアルミニウム合金の水素挙動/茨城大 ○(院)庄司章人, 伊藤吾朗	114	耐アルミニウム溶湯用コーティングの開発/道総研工試 ○高橋英徳, DBCシステム研究所 吉岡隆幸, 成田敏夫	134	金属樹脂積層板への固相スタッド接合における接合強度と組織に及ぼすスタッド形状の影響/東京工大 (院)浅倉太一, ○原田陽平, 熊井真次
90	Al-Mg-Si合金におけるナノガラスの計算シミュレーション/富山大総合情報基盤センター ○布村紀男, 富山大 松田健二, 西村克彦				

昼食/若手の会(工5号館523 12:00~13:00)

第2日目 2017年5月21日(日)

第1会場 (ES総合館 2F ES022)	第2会場 (ES総合館 2F ES024)	第3会場 (ES総合館 2F ES025)
マグネシウム2 斎藤尚文(産総研)	水素・微量元素1 山田浩之(防衛大)	T1③ 行武栄太郎(茨城県工技七)
17 LPSO型Mg-Zn-Y-Al-La合金の押出条件が加工発熱量や組織に及ぼす影響/熊本大 ○(院)瀬澤和葉, 井上晋一, 金鍾鉉, 河村能人, 住友電工 宮水倫正, 河部 望	42 Al-Zn-Mg合金冷間圧延材の耐水素脆化性/茨城大 ○(院)中島祐樹, 倉本 繁, 豊田中研 青井一郎, 清水吉広	67 難燃性マグネシウム合金の疲労特性について/九州大 ○野口博基 調 司 講演
18 長周期積層構造型Mg-Zn-Y基一方向凝固材のクリープ強度におよぼす室温予ひずみの影響/富山県立大 ○鈴木真由美, (院)渡邊了太, 大阪大 萩原幸司	43 Al-Mg-Si系合金の破面様相に及ぼす主要合金元素の影響/茨城大 ○(院)石澤真悟, 倉本 繁, 神戸製鋼 中井 学, 茨城大伊藤吾朗, 車田 亮, (院)楊 帆, (院)青島翔平	68 Mg-Al-Zn-Ca系合金押出材TiGおよびMIG溶接部の疲労き裂伝ば挙動/長岡技科大 ○宮下幸雄, (院)國谷耕平, (院)木村聖光
19 Mg基LPSO合金及び純Mgにおける荷重急変直後の塑性変形挙動の比較/日本大 (院)石井康夫, ○高木秀有, 藤原雅美	44 高圧水素ガス容器用アルミニウム合金の湿潤ガス応力腐食割れ特性に及ぼすPb,Biの影響/茨城大 ○(院)中島迪久, 伊藤吾朗, 車田 亮, 倉本 繁, (院)青島翔平, (院)萩原亮太, (院)楊帆	69 難燃性マグネシウム合金板材の曲げ加工性に及ぼす板厚の影響/権田金属 ○伊藤友美, 野田雅史, 鉄道総研 森 久史
20 473Kで時効したMg-Y-Se合金の時効析出組織観察/富山大 ○(院)平木智也, (院)戸室優佳, 李昇原, 池野 進, 松田健二	45 Al-10%Mg合金の疲労特性に及ぼす不純物元素の影響/茨城大 ○(院)鬼澤 海, (院)山田隆一, 伊藤吾朗, 中村雅史	70 示差熱分析装置を用いたマグネシウム合金箔及び粉末の発火温度測定/産総研 鈴木一孝, 斎藤尚文, 黄新シヨウ, ○千野靖正

13:00~
14:20

休憩(14:20~14:30)

第1会場 (ES総合館 2F ES022)	第2会場 (ES総合館 2F ES024)	第3会場 (ES総合館 2F ES025)
マグネシウム3 鈴木真由美(富山県立大)	水素・微量元素2 倉本 繁(茨城大)	解析方法 山本篤史郎(宇都宮大)
21 純マグネシウムの組織と機械的性質に及ぼす鍛造条件の影響/京都府中技セ ○渡部宏典, 坂之上悦典, 産総研 斎藤尚文, 千野靖正	46 100ppmオーダーの不純物Naによって生じるAl-5%Mg合金の室温脆性/大阪大 ○堀川敬太郎, 北畑真太郎, 小林秀敏	71 Al-Zn-Mg合金における変形高在化/九州大 ○戸田裕之, 清水一行, 高紐叶, (院)藤原比呂, JASRI 上杉健太郎, 竹内晃久
22 各種マグネシウム合金の機械特性に及ぼすカーボン添加の影響/広島工大 ○日野 実, (学)三村政樹, STU 橋本嘉昭, 岡山工技セ 村上浩二, 岡山理科大 金谷輝人	47 超塑性Al-Mg-Mn合金における動的組織形成と強度変化/東京大 ○(院)増田敏士, 首都大 (院)金澤孝昭, ISAS/JAXA 戸部裕史, 佐藤英一	72 リバース4D材料エンジニアリングによるアルミニウム合金のマイクロ組織最適化/九州大 ○戸田裕之, 徐道源, Han Li, モンテレイ工大 Rafael Batres, JASRI 上杉健太郎, 竹内晃久
23 射出成形された難燃性Mg合金AZX912の鍛造特性/日本製鋼 ○柳屋岳彦, 岸 恭弘, 梶川耕司, 山口 毅, 斎藤 研	48 2000系アルミニウム合金の疲労き裂発生に及ぼす熱処理と微量元素の影響/岡山理科大 ○中川恵友, 茨城大 伊藤吾朗, 神戸製鋼 中井 学, 岡山理科大 松浦洋司, 金谷輝人	73 結像型X線CTによるアルミニウム合金中のナノボイド3D観察/九州大 ○門川千宙, 戸田裕之, 清水一行, JASRI 寺田靖子, 竹内晃久, 上杉健太郎
24 溶融環境法によるCNF/難燃性マグネシウム合金複合材料の作製と機械的性質の評価/広島大 ○佐々木元, (院)姚友強, 崔龍範, 杉尾健次郎, 松木一弘	49 6061アルミニウム合金の水中摩擦による水素チャージおよびその引張特性に及ぼす影響/大阪大 ○堀川敬太郎, (学)田口智章, 小林秀敏	74 X線回折援用結晶粒度測定法を用いたアルミニウム合金の塑性変形中の結晶方位回転の評価/九州大 ○平山恭介, 戸田裕之, JASRI 上杉健太郎, 竹内晃久
25 粉末冶金プロセスによるCaO粒子分散強化マグネシウム基複合材料の特性/日本大 ○久保田正広, (院)萩野敏基	50 放電加工により水素を導入したAl-7.8wt%Zn-1.6wt%Mg合金に対するTEM観察/富山大 ○(院)有田竜馬, 李昇原, 松田健一, 西村克彦, 布村紀男, 九州大 戸田裕之, 平山恭介, 清水一行, 高 紅叶, 山口正剛	

14:30~
16:10

第2日目 2017年5月21日(日)

第4会場 (IB電子情報館中棟 1F IB015)	第5会場 (IB電子情報館中棟 1F IB014)	第6会場 (IB電子情報館中棟 1F IB013)
<p>T2③ 寺田大将(千葉工大)</p>	<p>表面処理 大谷良行(UACJ)</p>	<p>接合2(自動車) 福田敏彦(UACJ)</p>
<p>91 超微細粒時効硬化型アルミニウム合金の強化機構の並立を図る3基調つの方策/横浜国大 ○廣澤渉一, 唐永鵬, 九州大 堀田善講演 治, 富山大 李昇原, 松田健二, 千葉工大 寺田大将</p>	<p>115 Ti-Zr 化成皮膜の接着耐久性に及ぼす処理条件の影響/神戸製鋼 ○小島徹也, 太田陽介</p>	<p>135 Cu/Al爆発圧接奉助に及ぼす衝突角度の影響/東京工大 (院)西脇淳人, ○熊井真次</p>
<p>92 スピノーダル分解を用いた超微細粒時効硬化型Al-Mg合金の強化機構の並立/横浜国大 ○唐永鵬, 廣澤渉一, 九州大 堀田善治, 富山大 松田健二, 李昇原, 千葉工大 寺田大将</p>	<p>116 水処理を施した高純度アルミニウム上に形成された化成皮膜内の欠陥に与える化成液温度の影響/日本軽金属 ○榎 修平, 清水裕太, 片野雅彦</p>	<p>136 アルミニウム/SS400爆発圧接界面の熱履歴と波状界面形成に及ぼす衝突条件の影響/東京工大 (院)山岸大起, (院)西脇淳人, ○村石信二, 熊井真次</p>
<p>93 熱力学的解析によるAl-Mg二元合金準安定状態図の決定/横浜国大 ○(院)古後翔佑, 岩岡秀明, 廣澤渉一</p>	<p>117 プラズマ電解酸化におけるレーザー照射による影響/豊橋技科大 ○(院)土器菌駿士, 安井利明, 福本昌宏</p>	<p>137 アルミニウム合金板の電磁圧接における間隙の効果と接合特性/千葉大 ○糸井貴臣, (院)井上祥一, 都立産技高専 岡川啓悟</p>
<p>94 HPT(High-Pressure Torsion)加工で結晶粒微細化した大型リングAl-2%Fe合金の組織解析と機械的特性評価/九州大 ○(院)増田高大, 堀田善治</p>	<p>118 間接通電により生成したポラスアルミナ皮膜の構造に及ぼす周波数の影響/工学院大 ○(院)石野真美, 橋本英樹, 阿相英孝</p>	<p>138 電磁圧接におけるニッケルメッキを施した銅板とアルミニウム板の接合部組織観察/千葉大 ○(院)佐々木雅史, 糸井貴臣, 都立産技高専 岡川啓悟</p>
<p>95 予加工を施したA6061合金の時効こともなう強度-延性バランスの遷移/千葉工大 ○寺田大将, (院)山淵純二, 廣澤渉一, 唐永鵬, 九州大 堀田善治, 富山大 松田健二, 李昇原</p>	<p>139 A5083中板における摩擦攪拌成形(FSF)による低頭薄板フィンの成形/国土館大 ○大橋隆弘, (院)ハメッド モフィディイハメッド, 西原 公</p>	<p>140 摩擦攪拌成形(FSF)によるアルミニウム合金とステンレス鋼繊維の機械的接合の試み/国土館大 ○(院)モフィディイハメッド, 西原 公</p>
<p>96 規則的な微細インテンションによるAl-Mg合金板のセラレンションの低減/大阪大 (学)越智尚之, (院)真鍋 翔, 名取恵子, 松本 良, ○宇都宮裕</p>	<p>141 アルミニウム合金/チタン箔材の摩擦攪拌接合における材料流動と接合状態の関係/宇都宮大 ○(院)児玉 崇, 高山善匡, 渡部英男</p>	<p>141 アルミニウム合金/チタン箔材の摩擦攪拌接合における材料流動と接合状態の関係/宇都宮大 ○(院)児玉 崇, 高山善匡, 渡部英男</p>
<p>97 HPT加工を施したZn, Si, Ge添加Al-Cu-Mg合金の組織観察/富山大 (院)河合健汰, ○李昇原, 松田健二, 横浜国立大 廣澤渉一, 九州大 堀田善治, 千葉工大 寺田大将, 富山大 池野 進</p>	<p>142 連続繊維CFRTPと5052アルミニウム合金の重ね摩擦シーム接合/日本大 ○(院)勅使河原圭介, 前田将克, 加藤敦良, 坂田憲泰, 平山紀夫</p>	<p>142 連続繊維CFRTPと5052アルミニウム合金の重ね摩擦シーム接合/日本大 ○(院)勅使河原圭介, 前田将克, 加藤敦良, 坂田憲泰, 平山紀夫</p>
<p>98 加工熱処理によるAl-Mg-Si-Cu合金の時効析出挙動/富山大 (院)門垣俊哉, ○李昇原, 池野 進, 松田健二</p>	<p>休憩 (14:20~14:30)</p>	
第4会場 (IB電子情報館中棟 1F IB015)	第6会場 (IB電子情報館中棟 1F IB013)	
<p>T2④ 廣澤渉一(横浜国大)</p>	<p>接合3(自動車) 原田陽平(東京工大)</p>	
<p>94 HPT(High-Pressure Torsion)加工で結晶粒微細化した大型リングAl-2%Fe合金の組織解析と機械的特性評価/九州大 ○(院)増田高大, 堀田善治</p>	<p>139 A5083中板における摩擦攪拌成形(FSF)による低頭薄板フィンの成形/国土館大 ○大橋隆弘, (院)ハメッド モフィディイハメッド, 西原 公</p>	
<p>95 予加工を施したA6061合金の時効こともなう強度-延性バランスの遷移/千葉工大 ○寺田大将, (院)山淵純二, 廣澤渉一, 唐永鵬, 九州大 堀田善治, 富山大 松田健二, 李昇原</p>	<p>140 摩擦攪拌成形(FSF)によるアルミニウム合金とステンレス鋼繊維の機械的接合の試み/国土館大 ○(院)モフィディイハメッド, 西原 公</p>	
<p>96 規則的な微細インテンションによるAl-Mg合金板のセラレンションの低減/大阪大 (学)越智尚之, (院)真鍋 翔, 名取恵子, 松本 良, ○宇都宮裕</p>	<p>141 アルミニウム合金/チタン箔材の摩擦攪拌接合における材料流動と接合状態の関係/宇都宮大 ○(院)児玉 崇, 高山善匡, 渡部英男</p>	
<p>97 HPT加工を施したZn, Si, Ge添加Al-Cu-Mg合金の組織観察/富山大 (院)河合健汰, ○李昇原, 松田健二, 横浜国立大 廣澤渉一, 九州大 堀田善治, 千葉工大 寺田大将, 富山大 池野 進</p>	<p>142 連続繊維CFRTPと5052アルミニウム合金の重ね摩擦シーム接合/日本大 ○(院)勅使河原圭介, 前田将克, 加藤敦良, 坂田憲泰, 平山紀夫</p>	
<p>98 加工熱処理によるAl-Mg-Si-Cu合金の時効析出挙動/富山大 (院)門垣俊哉, ○李昇原, 池野 進, 松田健二</p>	<p>休憩 (14:20~14:30)</p>	

第1日目 2017年5月20日(土)

ポスターセッション(ESホール、NICエントランス) (13:00~14:30)	
P01	チタン種層板による深絞り容器の耳抑制／兵庫県立大 ○(学)大野宏人, (院)服部修治, 原田泰典
P02	ピロリン酸ノード酸化による超親水／超撥水アルミニウム表面の創製／北海道大 ○(院)中島大希, 菊地竜也, 夏井俊悟, 鈴木亮輔
P03	Mg-Al-Zn系合金の機械的特性に及ぼす結晶粒径とアルミニウム添加量の影響／茨城大 ○(院)坂岡優也, (学)須藤岳志, 倉本繁, 車田亮
P04	水素吸蔵させた超微細粒工業用純チタンの変形挙動／金沢大 ○(院)中村涼, 渡邊千尋, 門前亮一, 豊橋技科大 三浦博己
P05	多岐深絞り加工によるチタンクランプ容器的成形性／兵庫県立大 ○(院)原田泰典, (院)大野宏人, (院)服部修治
P06	5083アルミニウム合金の室温延性に及ぼすNaおよび低ひずみ速度の影響／大阪大 ○(院)染内彩里, 堀川敬太郎, 小林秀敏
P07	コムメタル加工材のナノインデンテーション変形挙動に及ぼす押し込み速度の影響／茨城大 ○(院)柴山裕輝, (院)小野瀬航平, 倉本繁, 物材機構, 九州大 大村孝仁, 物材機構 鈴木拓哉, 仲川枝里
P08	トリエチルアルミン系添加剤を含むAlCl ₃ -DMSO ₂ 浴からのAlの電析／名古屋大 ○(院)金相幸, (院)松永直也, 名古屋大 未来研 黒田健介, 興戸正純
P09	Mg ₂ Si合金におけるSi析出相の成長過程の応力依存性／茨城大 ○(院)劉濱, 池田輝之, 篠嶋 妥
P10	耐熱Al-Mg-Zn鍛造合金の設計と時効処理に伴う組織変化／名古屋大 ○(院)石原雅人, 高田尚記, 小橋真
P11	Mg-Ce-Zn合金の組織と機械的性質／千葉工大 ○(院)形山武尊, 田村洋介
P12	斜め方向からの衝撃吸収可能な開放物面を有する3D積層造形ポラースアルミニウムの開発／首都大 ○(院)杉山嘉一, (院)多田雷泰, (学)三浦江梨子, 北園幸一
P13	純Al単結晶マイクロピラーの強度に及ぼす試験片寸法の影響／名古屋大 ○(院)竹安崇一郎, 高田尚記, 小橋真
P14	連続繰返し曲げ加工された2024Al合金の応力緩和特性／宇都宮大 ○(院)宮澤拓也, 高山善匡, 渡部英男
P15	共晶反応を利用した耐熱Al基鋳造合金の設計と凝固組織／名古屋大 ○(院)岡野大幹, 高田尚記, 小橋真
P16	透過型電子顕微鏡を用いた強冷間加工後の7075アルミニウム合金の時効析出組織観察／東京工業大 ○(院)堀田美, 小林郁夫, 茨城大 倉本繁, 伊藤吾朗
P17	廃材を利用したADC12ポラースAl/SUS304薄肉パンプ複合部材の摩擦圧接による作製／群馬大 ○(院)小林龍聖, 半谷慎彦
P18	高温高速せん断ひずみ付与にもなるAl-Mg-Si合金の組織変化／神戸大 ○(院)南久遠, 池尾直子, 物材機構 Alok Singh, 大澤嘉昭, 土谷浩一, 神戸大 向井敏司
P19	微細格子描画を用いたAl/Mg/Alクワッド薄板材の超塑性変形挙動調査／北海道大 ○(院)徳永透子, 松浦清隆, 大野宗一
P20	異質核と改良剤を含むADC12アルミニウム合金用組織微細化剤の開発とその性能評価／名古屋工大 ○(院)中村文哉, 佐藤尚, 渡辺義見
P21	Al-Al ₂ F _{6.3} Ti微細化剤の性能に及ぼす異質核の体積分率の影響／名古屋工大 ○(院)谷合秀介, 渡辺義見, 佐藤尚
P22	マグネシウムのブラスマ電解酸化に及ぼす電解液へのアルコール添加の影響／工学院大 ○(学)浅倉健斗, 橋本英樹, 阿相英孝
P23	非固溶性の不純物を含むAl-Mg固溶体合金の高温力学特性／香川高専 ○(専)藤原開, (専)川崎健太郎, 伊藤勉, 愛媛大 水口隆
P24	5000系アルミニウム合金におけるインテンションの負荷曲率変動に及ぼすマグネシウム添加量の影響／防衛大 ○(院)上 剛司, 山田浩之, UACJ 岡田峰光, 防衛大 小笠原永久
P25	アルミニウム鑄造材ADC12の超高温サイクル回転曲げ疲労／香川高専 ○(専)田中優季, 伊藤勉, 岡田憲司, 立命館大 酒井達雄
P26	放電ブラスマ機構による抗菌銀セオライト粉末を分散させたアルミニウムの固化成形／香川高専 ○(専)柴谷遼太郎, 伊藤勉
P27	Ti ₃ Al金属間化合物の高温力学特性／香川高専 ○(専)福井貴大, 伊藤勉
P28	6000系アルミニウム合金の水素脆化に及ぼす温度と組成の影響／茨城大 ○(院)井出一平, 伊藤吾朗
P29	Al-25%Si合金を用いた薄肉ヒートシンクモデルの放熱特性に対するフィン高さとベース厚さの影響／大阪工大 ○(院)寺尾 勝, 羽賀俊雄, 布施宏, (院)濱田藍貴
P30	回折コントラストモグラフィー法によるアルミニウム合金の水素脆化挙動解析／九州大 ○(学)セグイーン, 平山恭介, 戸田裕之, JASRI 上杉健太郎, 竹内晃久

第1日目 2017年5月20日(土)

ポスターセッション(ESホール、NICエントランス) (13:00~14:30)

P31	高純度Al-Cu-Mg合金の粒界破壊を引き起こす条件に及ぼすCa添加の影響/大阪府立大 ○(学)大手昌泰, (院)青木良晃, 上杉徳昭, 瀧川順庸, 東健司	P37	AlN/AlC+N hybridコーティングを施したA7075合金の摩擦摩耗特性/茨城大 ○(学)石井 努, 中村雅史, (院)高森悠紀	P43	シナチルスルホキシド浴におけるチタン電極の電気化学的挙動/名古屋大 ○(学)桑野翔太, 名古屋大未来研 黒田健介, 興戸正純	P49	蒸気コーティング法を用いたAl-Zn-Mg合金上への耐食性皮膜作製技術の開発/芝浦工大 ○(院)横溝哲也, (院)笹川圭祐, 中村嘉恵, OI Lun Li, 芹澤 愛, 石崎貴裕 MacDonald	P55	擬似液体中におけるAZ31マグネシウム合金の腐食挙動に及ぼす表面性状の影響/山梨大 ○(学)小林倫香, (院)保坂泰斗, 吉原正一郎, Dublin City Univ. Bryan J. MacDonald
P32	AZ61系Mg合金の腐食挙動に及ぼすCa添加の影響/芝浦工大 ○(院)嶋田雄太, (院)瀧川美佳, 中村嘉恵, 石崎貴裕	P38	硫酸を用いたアルミニウムドロス残灰の改質処理/東北大 ○(学)吉田美生, 平木岳人, 長坂徹也	P44	表面親水性・疎水性を制御した生体材料Tiのタンパク質吸着量と骨伝導能/名古屋大 ○(学)森 祐輔, 山口勇気, 名古屋大未来研 黒田健介, 興戸正純	P50	β型Ti-Fe-Zn合金金属結晶におけるCa添加の影響/長岡技科大 ○(院)高野純彰, (学)時澤拓也, 長岡高専 青柳成俊, 北海道大 大沼正人, 長岡技科大 本間智之	P56	塩水環境下におけるCa添加難溶性マグネシウム合金の腐食速度の算出/芝浦工大 ○(院)瀧川美佳, (院)嶋田雄太, 中村嘉恵, 石崎貴裕
P33	摩擦攪拌接合で作製したADC12アルミニウム合金の応力腐食割れ/九州大 ○(院)益永涼平, 戸田裕之, JASRI 上杉健太郎, 竹内晃久	P39	Al-10Mg合金の応力腐食割れ/九州大 ○(院)益永涼平, 戸田裕之, JASRI 上杉健太郎, 竹内晃久	P45	Al-0.20%Ti合金OCC線材の凝固組織と結晶方位/千葉工大 ○(学)河尻 優也, (学)岡本祐太郎, 本保元次郎	P51	6000系アルミニウム合金の耐湿潤ガス応力腐食割れ特性に及ぼすPb,Biの影響/茨城大 ○(院)青島翔平, 伊藤吉朗, 車田 亮, 倉本 繁, (院)湯帆, (学)中島迪久, (学)秋篠 亮太	P57	Mg-Y合金に対するCe添加による耐添加の影響/富山大 (院)濱口卓也, ○(院)戸室優佳, 李昇原, 池野 進, 松田健二
P34	7000系アルミニウム合金の疲労特性に及ぼすCu,Mg添加量の影響/茨城大 ○(院)山田隆一, (院)鬼澤 海, 伊藤吉朗, 車田 亮, 神戸製鋼 中井 学, 茨城大 中村雅史	P40	アルミニウムドロス生成機構解明に向けたAl-Mg合金酸化のその場観察/東北大 ○(学)野口仁美, 平木岳人, 東北大多元研 丸岡伸洋, 東北大 長坂徹也	P46	アルミニウム錯物における疲労亀裂発生抵抗の3D最適化/九州大 ○(学)須賀俊介, 戸田裕之, 徐道源, LiHan, JASRI 上杉健太郎, 竹内 晃久	P52	Al-2.5Li-2.0Mg合金の時効挙動に対するHPT加工の影響/富山大 ○(院)灰塚裕平, 河合健次, 李昇原, 才川清二, 松田健二, 横濱国大 廣澤渉一, 九州大 堀田善治, 千葉工大 寺田大将, 富山大 池野 進	P58	実験ならびに数値解析によるAl/Fe電磁圧接挙動の検討/東京工大 ○(院)李傑迪, (院)西脇淳人, (院)神戸 貴史, (院)山岸大起, 熊井真次
P35	摩擦攪拌接合により発生した摩擦熱を利用し発泡させたADC12ポラスAlの作製/群馬大 ○(院)高田桂佑, 半谷植彦, 大阪大 藤井英俊, 青木祥宏, 周夢然, 芝浦工大 宇都宮 登雄	P41	酢酸塩被膜付与Znシートの用いたA1070の液相拡散接合/群馬大 ○(院)小澤昂平, 小山真司, 荘司郁夫	P47	結晶塑性解析における解析モデルが材料パラメータに及ぼす影響/山形大 ○(院)神田朋哉, 久米裕二	P53	Cu/Mg比を変化させたAl-Cu-Mg合金における加工熱処理/富山大 ○(院)内川稜太, (院)淵垣俊哉, (院)松本 毅, 李昇原, 池野 進, 松田健二	P59	マグネシウム合金の高速圧縮変形挙動に及ぼすアルミニウムの添加効果/神戸大 ○(院)近成勇太, (院)前田智哉, 池尾直子, 向井敏司
P36	Al-Mg合金の冷間圧延における局所塑性ひずみ分布に対するMg量の影響/豊橋技科大 ○(院)中山将徳, 小林正和, 青葉知弥, 三浦博己	P42	チタンの耐食・耐摩耗性に及ぼす(ま)化・窒化処理の影響/群馬大 ○(院)安澤佳希, (院)石野竜也, 小山真司, 荘司郁夫	P48	6000系アルミニウム合金の湿潤ガス応力腐食割れ特性に及ぼす合金組成の影響/茨城大 ○(院)秋篠亮太, 伊藤吉朗, 車田 亮, 倉本 繁, (院)青島翔平, (院)中島迪久, (院)湯帆	P54	蛍光X線ホログラフィー法によるTi-20Ti合金のTi ₂ O ₃ 近傍局所構造解析/宇都宮大 ○(院)吉田剛之, 山本篤史郎, 名古屋工大 林 好一, 広島市立大 八方直久, 熊本大 細川 伸也		

Program
of
The 132th Conference of Japan Institute of Light Metals
(May 20-21, 2017, Nagoya University)

1. Time dependent electrical resistivity and magnetization on natural aging of Al-Mg-Si alloys
..... D.Hatakeyama, K.Nishimura, T.Namiki, K.Matsuda, N.Nunomura, T.Matsuzaki
2. The relationship between the serrated flow behavior and the cluster formation in Al-Mg-Si alloys
..... T.Hashimoto, R.Akiyoshi, K.Ihara, Y.Takaki
3. Microstructure Observation of Al-7wt.%Si-0.3wt.%Mg casting alloy aged at 473K
..... Y.Makita, D.Yoshino, S.Lee, S.Saikawa, S.Ikeno, K.Matsuda
4. Age-hardening behavior of Al-7%Si-0.3%Mg system alloys with T6 treatment after sand casting
..... K.Takahashi, M.Masuda, S.Ikeno, S.Saikawa
5. Effect of second-phase particles on crack initiation in tensile deformation of some 6000 series aluminum alloys.
..... G.Akaba, G.Itoh, J.Kobayashi
6. The effect of pre-ageing on the behavior of ageing at high temperatures for Al-Mg-Si alloy
..... M.Hori
7. Influence of Mg / Si ratio and Mg+Si amount on age-hardening of Al-Mg-Si alloy
..... D.Yoshino, S.Lee, S.Ikeno, K.Matsuda
8. Observation of multiplication and dynamic recovery behavior of dislocation during tensile deformation in 6016 and 6014 alloys
..... Y.Koshino, Y.Aruga, J.Mukai, K.Kaneko
9. Effect of casting speed on solidification structures and crystal orientation of Al-3.8mass%Fe hypereutectic alloy OCC wires
..... T.Sawaya, K.Hotozuka, N.Murakami, G.Motoyasu
10. Influence of Iron addition on solidification microstructure of an Al-Ca alloy and its in-situ observation
..... R.Taniguchi, J.Yu, S.Norita, Y.Ishiwata, H.Yasuda
11. Effect of small amounts of additional elements on softening property of high-purity aluminum
..... T.Hayashi, H.Tanaka
12. effect of si and fe content on the elongation of al-fe based alloy foils
..... T.Suzuki, M.Endo, Q.Cui, S.Kuramoto
13. Molten metal quality of heat resistant magnesium alloy with melting and holding
..... D.Kano, H.Kako, S.Ikeno, S.Saikawa
14. Microstructure and heat resistance in Mg-Al alloy with containing of Sr and RE
..... Y.Yamanishi, H.Kako, S.Ikeno, S.Saikawa, M.Mizutani, K.Yoshida, N.Kawabe
15. Combustion behavior of the molten metal surface of AZ91 magnesium alloy
..... H.Kawabata, H.Kato, K.Kitayama, K.Hibi, Y.Yagi, Y.Aoki
16. Influence of calcium on the combustion behavior of the molten metal surface of AZ91 magnesium alloy
..... H.Kawabata, H.Kato, K.Kitayama, K.Hibi, Y.Yagi, Y.Aoki
17. Effect of extrusion conditions on deformation heating and microstructure of extruded Mg-Zn-Y-Al-La alloy with LPSO phase
..... K.Suzawa, S.Inoue, J.Kim, Y.Kawamura, M.Miyana, N.Kawabe
18. Effects of pre-strain on creep strength in a directionally solidified long period stacking ordered Mg-Zn-Y alloy
..... M.Suzuki, R.Watanabe, K.Hagihara
19. Comparison of plastic deformation behaviors of magnesium-based LPSO alloy and pure magnesium right after sudden load change
..... Y.Ishii, H.Takagi, M.Fujiwara
20. Microstructure observation of Mg-Y-Sc alloys aged at 473K
..... T.Hiragi, Y.Tomuro, S.Lee, S.Ikeno, K.Matsuda
21. Effects of forging conditions on microstructure and mechanical properties of pure magnesium
..... H.Watanabe, Y.Sakanoue, N.Saito, Y.Chino
22. Influence of carbon addition on mechanical properties of various magnesium alloys
..... M.Hino, M.Mimura, Y.Hashimoto, K.Murakami, T.Kanadani
23. Study on forgeability of molded magnesium alloy AZX912
..... T.Yanagiya, Y.Kishi, K.Kajikawa, T.Yamaguchi, K.Saito
24. Preparation of CNF/ flame-resistant magnesium alloy composites by stir casting and its mechanical properties
..... G.Sasaki, Y.Yao, Y.B.Choi, K.Sugio, K.Matsugi
25. Properties of Mg-CaO composite materials fabricated by powder metallurgy
..... M.Kubota, T.Hagino
26. Numerical analysis of wall thickness variation in extruding of aluminum alloys
..... P.Lin
27. A study on determination method of the heat transfer coefficients for extrusion simulation
..... T.Suzuki, H.Takeshita, H.Fukumasu, S.Tanimura, S.Okita, N.Takatsuji
28. Material modeling and forming limit measurement for A6082 extruded circular tube using multiaxial tube expansion testing method
..... K.Nagai, S.Takagi, K.Hirose, T.Kuwabara, A.Ilinichi, G.Luckey
29. Improvement of Stretch Flangeability in Rectangular Burring Using Gradually Contacting Punch
..... Y.Ueno, Y.Yamada, M.Asano
30. Orientation dependence of bending deformation behavior in pure magnesium
..... S.Ando, R.Fukumori, Y.Hirokawa, H.Kitahara
31. Effects of alloying elements on indentation behavior of Mg alloy single crystals
..... H.Kitahara, Y.Takamatsu, M.Tsushida, S.Ando

32. Mechanical properties of identified local areas in aluminum alloys using micropillar compression tests
..... N.Takata, S.Takeyasu, M.Kobashi
33. Effect of chemical compositions and process conditions on work-hardening behavior of Al-Fe alloy sheet.
..... Y.Tabuchi, K.Hoshino
34. Improvement of fatigue properties of low-cost beta-type Ti-Mn alloys through {332}<113> deformation twinning
..... K.Cho, H.Kobata, K.Yuki, M.Niinomi, H.Y.Yasuda
35. Effects of microstructure on the high cycle fatigue property of Ti-6242S
..... T.Kitashima, M.Hagiwara, S.Emura, Y.Mitarai
36. Short crack growth behavior in Ti-6Al-4V alloy
..... S.Watanabe, H.Toda, K.Uesugi, A.Takeuchi
37. Relationship between strain rate and microstructural sizes consisting of acicular microstructure the near- α type Ti-Al-Zr-Mo-Nb-Si alloys
..... T.Ito, T.Kitashima, Y.Mitarai
38. Mechanical properties and cold workability of Ti-V alloy with high oxygen content
..... M.Oomiya, K.Ueda, T.Narushima
39. Effect of α_2 phase on high-temperature strength of Ti alloys
..... Y.YamabeMitarai, K.Shimagami, S.Matsunaga, T.Kitashima, T.Ito
40. Deformation mechanism analysis of Gum Metal by in-situ TEM compression test
..... K.Onose, Y.Shibayama, S.Kuramoto, T.Ohmura, T.Suzuki, E.Nakagawa
41. Improvement in fatigue life of titanium alloy by applying microshot and ultrasonic peening
..... Y.Harada, Y.Saeki, K.hattori
42. Resistance to hydrogen embrittlement of cold-rolled Al-Zn-Mg alloy
..... Y.Nakajima, S.Kuramoto, I.Aoi, Y.Shimizu
43. Effect of major alloying elements on fracture surface Al-Mg-Si alloys
..... S.Ishizawa, S.Kuramoto, M.Nakai, G.Itoh, A.Kurumada, F.Yang, S.Aoshima
44. Effect of Pb and Bi on humid gas stress corrosion cracking in aluminum alloys for high-pressure hydrogen container.
..... M.Nakajima, G.Itoh, A.Kurumada, S.Kuramoto, S.Aoshima, R.Akishino, F.Yang
45. Effect of impurity hydrogen on fatigue properties in an Al-10%Mg alloy
..... K.Kizawa, R.Yamada, G.Itoh, M.Nakamura
46. GB embrittlement at room temperature in Al-5%Mg alloys induced by sodium of the order of 100ppm
..... K.Horikawa, S.Kitahata, H.Kobayashi
47. Dynamic microstructural development and strength modification in superplastic Al-Mg-Mn alloy
..... H.Masuda, T.Kanazawa, H.Tobe, E.Sato
48. Effect of heat treatment and trace elements on fatigue crack initiation in 2024 aluminum alloy
..... K.Nakagawa, G.Itoh, N.Nakai, H.Matsuura, T.Kanadani
49. Hydrogen charging of 6061 aluminum alloys by means of friction in water and its effect on tensile properties
..... K.Horikawa, T.Taguchi, H.Kobayashi
50. TEM observation for hydrogen distribution behavior using electrical discharge machining of Al-7.8wt%Zn-1.6wt%Mg alloy
..... R.Arita, S.Lee, K.Matsuda, K.Nishimura, N.Nunomura, H.Toda, K.Hirayama, K.Shimizu, H.Gao, M.Yamaguchi
51. Effect of pre-heating condition on recrystallization behavior of Zr-added Al-Mn alloy fin stocks
..... D.Shimosaka, K.Suzuki, T.Sasaki, Y.Owada
52. Effect of deformation of brazing sheet as flow pass on filler metal flow of aluminum brazing
..... W.Narita, Y.Ohashi
53. Casting of clad strip using twin roll casters
..... T.Haga, K.Okamura, S.Mizuno
54. New brazing method using single layer material.
..... T.Kurosaki, T.Murase
55. Mechanical properties of AlSi10Mg alloy manufactured by electron beam melting
..... K.Yamakawa, H.Bian, K.Aoyagi, A.Chiba
56. Influence of AlP on the crystallization behavior of Al - Mg₂Si quasi binary eutectics
..... M.Masuda, T.Shibuya, T.Ozasa, S.Ikeno, S.Saikawa, H.Horikawa
57. Changes of Si particles morphology and mechanical property during heat treatment in Al-10%Si cast alloys
..... S.Furuta, M.Kobayashi, T.Aoba, H.Miura
58. Effect of chromium on crystallization of primary silicon in rapidly solidified hypereutectic Al-Si system alloys
..... S.Suzuki, K.Oda
59. **【Keynote】** Technical issues of car body structures of flame-resistant magnesium alloys
..... N.Uehigashi, K.Shimizu, T.Ishikawa, H.Mori
60. MIG welding of magnesium alloys for high-speed railway vehicles
..... Y.Takigawa, M.Ochi, M.Ueda, Y.Kinomoto, T.Uesugi, K.Higashi
61. Microstructure and mechanical property of TIG/MIG welded joints in Mg-Al-Ca-Mn dilute alloys
..... T.Sasaki, T.Ishikawa, M.Ueda, K.Shimizu, K.Hono
62. Friction stir welding of High-speed extrusion flame-resistant magnesium alloy
..... E.Yukutake, T.Ishikawa, K.Shimizu, H.Fujii
63. High strength and formable Mg-Zn based alloy sheets microalloyed with Zr and Ca
..... B.C.Suh, T.Sasaki, M.Z.Bian, T.Nakata, S.Kamado, K.Hono
64. Effect of thermomechanical processing on the microstructure and mechanical properties in a Mg-Al-Ca-Mn-Zn alloy sheet
..... M.Z.Bian, T.Sasaki, B.C.Suh, T.Nakata, S.Kamado, K.Hono
65. Effect of Ca and Zn additions on microstructure, tensile property, and room temperature formability in a rolled Mg-3.0Al-0.4Mn (wt.%) alloy
..... T.Nakata, C.Xu, T.Sasaki, S.Kamado

66. Effect of rolling process on the development of flame resistance magnesium alloy thick plate
..... Y.Fukuda, M.Noda
67. **【Keynote】** Fatigue characteristics of non-combustible magnesium alloy
..... H.Noguchi
68. Fatigue crack growth behavior in extruded Mg-Al-Zn-Ca alloy TIG and MIG welds
..... Y.Miyashita, K.Kokutani, M.Kimura
69. Effect of sheet thickness on bending workability of flame resistance magnesium alloy
..... T.Ito, M.Noda, H.Mori
70. Measurements of ignition temperature of magnesium alloy powders and foils by using differential thermal analyzer
..... K.Suzuki, N.Saito, X.Huang, Y.Chino
71. Flow localization in Al-Zn-Mg alloys
..... H.Toda, K.Shimizu, H.Gao, H.Fujihara, K.Uesugi, A.Takeuchi
72. Microstructure optimization of aluminum alloy by Reverse 4D Materials Engineering
..... H.Toda, D.Seo, H.Li, R.Batres, K.Uesugi, A.Takeuchi
73. 3D observation of nanovoids in aluminum alloy using imaging tomography
..... C.Kadogawa, H.Toda, K.Shimizu, Y.Terada, A.Takeuchi, K.Uesugi
74. Evaluation of rotation of crystal orientation during plastic deformation in aluminum alloy using diffraction-amalgamated grain-boundary tracking technique
..... K.Hirayama, H.Toda, K.Uesugi, A.Takeuchi
75. Mechanical properties and microstructure observation in Al-1.0mass%Mg₂Ge alloys with different alloying elements
..... T.Kataoka, T.Sato, S.Lee, S.Ikeno, K.Matsuda
76. TEM observation of Al-Mg₂Ge(-Ag) alloys with artificial aging
..... T.Sato, S.Lee, K.Matsuda, S.Wenner, C.D.Marioara, R.Holmestad, S.Ikeno
77. Aging behavior of transition metal added 6xxx series Al alloys
..... Y.Kuroda, S.Lee, S.Ikeno, K.Matsuda
78. Aging behavior Cu and Ag additions to Al-1.0%wtMg₂Si alloy
..... A.Matsumoto, S.Lee, S.Ikeno, K.Matsuda
79. Age hardening behavior of Al-11mass%Zn-3mass%Mg(-Ag) alloys
..... T.Ogura, Y.Aruga, T.Kochi, K.Toyotake
80. Mechanical property and TEM observation of Al-Zn-Mg-Cu alloys with artificial aging
..... F.Aoki, R.Arita, S.Lee, K.Matsuda, S.Nishikawa, T.Yoshida, S.Murakami, S.Ikeno
81. Effect of Cu addition on aging behavior of Al-Zn-Mg alloys with high Zn/Mg ratio
..... T.Yasumoto, R.Arita, S.Lee, K.Matsuda, S.Nishikawa, T.Yoshida, S.Murakami, S.Ikeno
82. Effect of temperature and strain rate in hot rolling on substructure formation of 7000 series aluminum alloys
..... K.Norikane, T.Fujimori, H.Tanaka
83. **【Keynote】** Heat treatment effects on Al-Mg-Si alloys studied by muon spin relaxation method
..... K.Nishimura, K.Matsuda, N.Nunomura, S.Lee, T.Namiki, T.Matsuzaki, I.Watanabe, T.Sato
84. **【Keynote】** Structure of precipitates in age-hardenable Al alloys at early stage of aging
..... K.Matsuda
85. Effects of cluster morphology on two-step aging behavior in Al-Mg-Si alloys with different Mg/Si ratio and natural aging period
..... Y.Aruga, M.Kozuka, T.Sato, S.Kim, E.Kobayashi
86. Influence of additional Zr and aging treatment on intergranular fracture in high-purity Al-Zn-Mg-Cu alloy
..... T.Uesugi, K.Yoshioka, Y.Takigawa, K.Higashi
87. Natural aging behavior of Mg-containing sacrificial layer of aluminum brazing sheet by 3DAP analyses
..... S.Kimura, K.Yoshida, A.Tsuruno, M.Kozuka, K.Matsumoto, Y.Aruga
88. Hydrogen behavior in a plasma-charged pure aluminum
..... T.Manaka, A.Hashimoto, G.Itoh
89. Behavior of hydrogen in plasma-hydrogen-charged aluminum alloys
..... A.Shoji, G.Itoh
90. Computer simulation of nanocluster in an Al-Mg-Si alloy
..... N.Nunomura, K.Matsuda, K.Nishimura
91. **【Keynote】** Three strategies to achieve concurrent strengthening of ultrafine-grained age-hardenable aluminum alloys
..... S.Hirosawa, Y.Tang, Z.Horita, S.Lee, K.Matsuda, D.Terada
92. Concurrent strengthening of ultrafine-grained age-hardenable Al-Mg alloy by means of high-pressure torsion and spinodal decomposition
..... Y.Tang, S.Hirosawa, Z.Horita, K.Matsuda, S.Lee, D.Terada
93. Thermodynamic Assessment and Determination of Metastable Phase Diagram in Al-Mg Binary Alloy
..... S.Kogo, H.Iwaoka, S.Hirosawa
94. Microstructures and mechanical properties of ultrafine-grained Al-2%Fe alloy produced by High-Pressure Torsion using upsized ring samples
..... T.Masuda, Z.Horita
95. Change in balance between strength and ductility of pre-deformed A6061 alloy during aging process
..... D.Terada, J.Kawabuchi, S.Hirosawa, Y.Tang, Z.Horita, K.Matsuda, S.Lee
96. Suppression of serration of Al-Mg sheet by periodical micro indentation
..... N.Ochi, S.Manabe, K.Natori, R.Matsumoto, H.Utsunomiya
97. Microstructure observation of HPT processed Zn, Si, Ge added Al-Cu-Mg alloy
..... K.Kawai, S.Lee, K.Matsuda, S.Hirosawa, Z.Horita, D.Terada, S.Ikeno
98. Precipitation behavior on Al-Mg-Si-Cu alloy after deformation
..... T.Nejigaki, S.Lee, S.Ikeno, K.Matsuda
99. Effect of casting condition on the butt curl of the aluminum direct chill casting
..... N.Sakaguchi

100. Solubility of scandium oxide in fluoride molten salt for Al-Sc alloy production
..... T.Teshima, K.Sugita, M.Yatsukura
101. Alloy design and preparation by casting process in Light-Weight High Entropy Alloys (LW-HEAs)
..... T.Nagase, M.Matsumuro, M.Takemura, A.Terayama, N.Fuyama
102. Possibility for Al based superalloys designed based on thermodynamic assessments
..... N.Takata, M.Ishihara, T.Okano, M.Kobashi
103. Preparation of toughness Mg-B-Sn-Zn type sintered alloy by gas atomization
..... T.Iwaoka, M.Aonuma
104. Microstructures and mechanical property of Al-Li alloy produced by spark plasma sintering technique
..... N.Aoyagi, I.Hirota, T.Homma
105. Effect of pre-heat temperature on mechanical properties of additive manufactured Al-Si-Mg alloy
..... D.Terada, T.Arai, M.Mitsuhashi, H.Nakashima, K.Kurita, Y.Nagata, S.Koiwai, M.Adachi
106. Development of titanium alloys from the mixture of pure metallic element powders via selected laser melting
..... M.Todai, T.Nagase, T.Hori, T.Nakano
107. Effect of pH on sacrificial anode of aluminum alloy in chloride solution
..... T.Kawakami, S.Iwao, S.Nakanishi, M.Yoshino
108. Effects of the priming coat on corrosion resistance of pre-coated aluminum sheets after forming
..... T.Ozawa, T.Maezono
109. Effects of cross-cut shape on filiform corrosion test for coated aluminum sheet
..... T.Mimura, T.Kobayashi, T.Shimada, Y.Oya, T.Koyama, Y.Kojima
110. Effect of Zn element on surface etching of 6XXX alloys
..... Y.Tomuro, T.Saito, O.Bauger, S.Wenner, C.D.Marioara, R.Holmestad, S.Lee, S.Ikeno
111. Galvanic corrosion between aluminum alloy 3003 and CFRP in NaCl solution
..... M.Sakai, T.Takayashiki
112. Influence of metal powder on galvanic corrosion of Al in wet and dry salt environment
..... Y.Oya, Y.Kojima
113. Effect of metal cations on inhibitive ability of gluconic ions on aluminum alloy.
..... K.Otani, M.Sakairi, A.Kaneko
114. Development of new coatings against liquid aluminum
..... H.Takahashi, T.Yoshioka, T.Narita
115. Effect of treatment conditions of Ti-Zr conversion coating on adhesive bond durability
..... T.Kojima, Y.Ota
116. Effect of anodizing temperature on defects in anodic film formed on hydration-treated high-purity aluminum
..... S.Enoki, Y.Shimizu, M.Katano
117. Effect of laser irradiation on plasma electrolytic oxidation
..... S.Dokizono, T.Yasui, M.Fukumoto
118. Effect of Frequency on Structure of Porous Alumina Formed by Indirect Oxidation
..... M.Ishino, H.Hashimoto, H.Asoh
119. Active slip systems in ultra-fine grained hcp metals
..... H.Adachi, Y.Yamashita, I.Ueda
120. Formation of bimodal grained structure by accumulative roll bonding and annealing in A5052 aluminum alloy
..... K.Kashihara, N.Tsuji
121. Change in mechanical properties of Al-Mg-Si alloy by multi-directional forging
..... T.Aoba, M.Kobayashi, H.Miura
122. Effects of particle shape on Al₃Ti particle distribution in Al-Al₃Ti multi-phase material deformed by multi directional forging
..... K.Takayama, H.Sato, T.Chiba, Y.Watanabe
123. Analysis of local structure near a V atom in a Ti-20V alloy by using X-ray fluorescence holography
..... T.Yamamoto, T.Yoshida, R.Shioda, K.Hayashi, N.Happo, S.Hosokawa
124. Prediction of transformation strain of Ti-Nb-X shape memory alloys from first-principles calculations
..... D.Minami, J.Shimamoto, T.Uesugi, Y.Takigawa, K.Higashi
125. Effect of Fe addition as β -Stabilizer on Mechanical Properties of Ti-Zr Based Alloys for Biomedical Applications
..... Y.Hadiwijaya, T.Okai, E.Kobayashi
126. Fabrication of hydrothermal treated thin film on AZ31 alloy in alkaline solution and its corrosion resistance evaluation
..... L.Zhu, H.Tanaka, K.Kuroda, M.Okido
127. Tensile properties of cold-rolled Al-Cu-Mg alloy
..... R.Fujisawa, Y.Nakajima, S.Kuramoto
128. Evaluation of non-uniform deformation for foamed aluminum under impact velocity
..... H.Yamada, C.Kakuno, T.Miyakubi, K.Tateyama, N.Ogasawara, K.Watanabe
129. Bore-expanding of aluminum alloy sheet using die-less shear spinning
..... Y.Matsumoto, S.Tokuhiro, N.Suzuki, O.Takeuchi
130. Strain distribution of cylinder formed by die-less shear spinning
..... S.Tokuhiro, Y.Matsumoto, N.Suzuki, O.Takeuchi
131. Basic study about the effect of adhesive for structural performance of HAT section member
..... A.Tatsumi, S.Takada, J.Naito, Y.Ota
132. Functional paste development applying aluminium eutectic reaction
..... S.Suzuki, M.Nakahara, N.Morishita, M.Dhamrin
133. Fabrication of layered Al/Al and Al/Fe by electroplating
..... Y.Yamano, M.Hakamada, M.Mabuchi, G.Ryu, T.Iizuka

134. Effect of stud shape on joint strength and microstructure in solid-state stud-welding to metal resin composite panel
..... T.Asakura, Y.Harada, S.Kumai
135. Effect of impact angle on explosive welding behavior of Cu/Al joint
..... J.Nishiwaki, S.Kumai
136. Thermal history at explosive welded pure aluminum / SS400 steel interface and the influence of collision condition on wavy interface formation.
..... D.Yamagishi, J.Nishiwaki, S.Muraishi, S.Kumai
137. Effect of gap on magnetic pulse welding for aluminum alloy plate and bonding characteristics.
..... T.Itoi, S.Inoue, K.Okagawa
138. Microstructural observation of lap joints between Ni-coated Cu plate and Al plate fabricated by Magnetic pulse welding
..... M.Sasaki, T.Itoi, K.Okagawa
139. Generation of low-profile thin plate-fins on A5083 medium gauge plate by friction stir forming (FSF)
..... T.Ohashi, H.Mofidi, T.Nishihara
140. Trials of Mechanical Interlocking of Aluminum Alloys with Stainless Steel Strands Using Friction Stir Forming
..... H.Mofidi, T.Nishihara
141. Relationship between material flow and bonding characteristics on friction stir diffusion bonding of aluminum alloy/titanium foils.
..... T.Kodama, Y.Takayama, H.Watanabe
142. Lap Friction Seam Welding of continuous carbon fiber reinforced thermoplastics to 5052 aluminum alloy
..... K.Teshigawara, M.Maeda, K.Katoh, K.Sakata, N.Hirayama
- P01. Restraining of earing in cup drawing of titanium laminated sheets
..... H.Ono, S.Hattori, Y.Harada
- P02. Fabrication of superhydrophilic and superhydrophobic aluminum surfaces via anodizing in pyrophosphoric acid
..... D.Nakajima, T.Kikuchi, S.Natsui, R.O.Suzuki
- P03. Effect of grain size and amount of aluminum on mechanical properties in Mg-Al-Zn base alloy
..... Y.Sakaoka, T.Sudou, S.Kuramoto, A.Kurumada
- P04. Deformation behavior of ultra-fine grained commercial purity titanium after hydrogen charging
..... R.Nakamura, C.Watanabe, R.Monzen, H.Miura
- P05. Formability of titanium clud cup by multi-stage deep drawing
..... Y.Harada, H.Ono, K.Hattori
- P06. Effects of sodium and low strain rate on room temperature ductility of 5083 aluminum alloys
..... S.Kumeuchi, K.Horikawa, H.Kobayashi
- P07. Effect of loading rate on Nanoindentation deformation behavior in cold worked specimens of Gum Metal.
..... Y.Shibayama, K.Onose, S.Kuramoto, T.Ohmura, T.Suzuki, E.Nakagawa
- P08. Electrodeposition of aluminum from AlCl₃-DMSO₂ electrolytes with Triethylamine hydrochloride as additive.
..... S.Kim, N.Matsunaga, K.Kuroda, M.Okido
- P09. Stress dependence on the Si precipitation process in Mg₂Si
..... B.Liu, T.Ikeda, Y.Sasajima
- P10. Microstructural change of heat-resistant Al-Mg-Zn wrought alloys with aging treatment
..... M.Ishihara, N.Takata, M.Kobashi
- P11. Microstructure and mechanical properties of Mg-Ce-Zr alloys
..... T.Sugiyama, Y.Tamura
- P12. Development of paraboloidal shaped porous aluminum fabricated by selective laser melting method for diagonal impact energy absorption
..... Y.Sugiyama, R.Tada, T.Miura, K.Kitazono
- P13. Length-scale effect in the strength of single crystal pure Al micropillars
..... S.Takeyasu, N.Takata, M.Kobashi
- P14. Stress relaxation characteristics of 2024Al alloy subjected to continuous cyclic bending
..... T.Miyazawa, Y.Takayama, H.Watanabe
- P15. Solidification structures of Al based heat-resistant cast alloys prepared through eutectic reaction
..... T.Okano, N.Takata, M.Kobashi
- P16. TEM observations of microstructure of severe cold rolled 7075 aluminum alloy during aging treatment
..... M.Hotta, E.Kobayashi, S.Kuramoto, I.Goroh
- P17. Fabrication of ADC12 porous Al using scrap material / SUS304 thin-walled pipe composite materials by friction welding
..... R.Kobayashi, Y.Hangai
- P18. Microstructure evolution in Al-Mg-Si alloys by high-speed shear deformation at elevated temperatures
..... K.Minami, N.Ikeo, S.Alok, Y.Osawa, K.Tsuchiya, T.Mukai
- P19. Investigation of superplastic behavior of Al/Mg/Al clad sheet using microgrid drawn by electron beam lithography
..... T.Tokunaga, K.Matsuura, M.Ohno
- P20. Development of microstructural refiner for ADC12 and its refining ability
..... F.Nakamura, H.Sato, Y.Watanabe
- P21. Influence of volume fraction of heterogeneous nucleus on the grain refining performance of Al-Al₂.7Fe0.3Ti refiners
..... S.Taniai, Y.Watanabe, H.Sato
- P22. Effect of alcohol addition to electrolyte on plasma electrolytic oxidation of magnesium
..... K.Asakura, H.Hashimoto, H.Asoh
- P23. High-temperature mechanical properties of Al-Mg solid solution alloys including non-solubility impurity atoms
..... H.Fujiwara, K.Kawasaki, T.Ito, T.Mizuguchi
- P24. Effect of different magnesium content on serrated loading curvature of indentation in 5000 series aluminum alloy
..... T.Kami, H.Yamada, M.Okada, N.Ogasawara
- P25. Very-high-cycle rotary bending fatigue of a casting aluminum alloy ADC12
..... Y.Tanaka, T.Ito, K.Okada, T.Sakai

- P26. Fabrication of antibacterial silver zeolite powder dispersed aluminum bulk compact by spark plasma sintering
..... R.Shibatani, T.Ito
- P27. High temperature mechanical properties of Ti3Al intermetallic compound
..... T.Fukui, T.Ito
- P28. Hydrogen embrittlement in 6000 series aluminum alloys affected by temperature and alloy composition.
..... I.Ide, G.Itoh
- P29. Influence of fin height and base thickness on heat dissipation of a thin wall heat sink model cast by Al-25%Si alloy
..... M.Terao, T.Haga, H.Huse, A.Hamada
- P30. Crystallographic assessment of hydrogen embrittlement cracks in aluminium alloy using X-Ray diffraction contrast tomography
..... Y.Sek, K.Hirayama, H.Toda, K.Uesugi, A.Takeuchi
- P31. Influence of additional Zr on condition for intergranular fracture in high-purity Al-Cu-Mg alloy
..... R.Ohte, Y.Aoki, T.Uesugi, Y.Takigawa, K.Higashi
- P32. Influence of Ca-addition amounts on corrosion behavior of AZ61 Mg alloys
..... Y.Shimada, M.Tsunakawa, K.Nakamura, T.Ishizaki
- P33. Bending behavior of ADC12 precursor core/A1050 sandwich panel prepared by friction stir welding and effect of foaming
..... K.Otsuki, Y.Hangai, T.Utsunomiya
- P34. Effects of additional Cu and Mg contents on fatigue properties in a 7000 series aluminum alloy
..... R.Yamada, K.Kizawa, G.Itoh, A.Kurumada, M.Nakai, M.Nakamura
- P35. Fabrication of ADC 12 porous aluminum foamed by frictional heat generated during friction stir welding
..... K.Takada, Y.Hangai, H.Fujii, Y.Aoki, M.Zhou, T.Utsunomiya
- P36. Effect of Mg content on local plastic strain distribution under cold rolling in Al-Mg alloy
..... M.Nakayama, M.Kobayashi, T.Aoba, H.Miura
- P37. Wear and friction characteristics of AlN/AlCrN hybrid coatings on A7075 alloy
..... T.Ishii, M.Nakamura, Y.Takamori
- P38. Reforming treatment of aluminum dross residue by using sulfuric acid
..... M.Yoshida, T.Hiraki, T.Nagasaka
- P39. Stress corrosion cracking in Al-10Mg alloys
..... R.Masunaga, H.Toda, K.Uesugi, A.Takeuchi
- P40. In-situ observation of Al-Mg alloy oxidation for analyzing formation of aluminum dross
..... H.Noguchi, T.Hiraki, N.Maruoka, T.Nagasaka
- P41. Liquid phase diffusion bonding of A1070 by using metal acetate coated Zn sheet
..... K.Ozawa, S.Koyama, I.Shohji
- P42. The effect of boriding and nitriding on corrosion and wear resistance of titanium
..... Y.Anzawa, R.Isino, S.Koyama, I.Shohji
- P43. Electrochemical behavior of titanium electrode in dimethylsulfoxide bath
..... S.Kumeno, K.Kuroda, M.Okido
- P44. Protein adsorption and osteoconductivity of hydrophilic and hydrophobic titanium
..... Y.Mori, Y.Yamaguchi, K.Kuroda, M.Okido
- P45. Solidification structures and crystal orientations of Al-0.20%Ti alloy wires produced by OCC process
..... Y.Ajiri, Y.Okamoto, G.Motoyasu
- P46. 3D optimization of fatigue crack initiation resistance in aluminum casting alloy
..... S.Suga, H.Toda, D.Seo, H.Li, K.Uesugi, A.Takeuchi
- P47. Effect of analysis model on material parameters in crystal plasticity analysis
..... T.Kanda, Y.Kume
- P48. Effect of composition on the resistance to humid gas stress corrosion cracking in 6000 series aluminum alloys
..... R.Akishino, G.Itoh, A.Kurumada, S.Kuramoto, S.Aoshima, M.Nakajima, F.Yang
- P49. Formation of anticorrosive films on Al-Zn-Mg alloy by steam coating
..... T.Yokomizo, K.Sasagawa, K.Nakamura, O.Li, A.Serizawa, T.Ishizaki
- P50. Effect of Zr addition on beta Ti-Fe-Zr sintered alloy
..... H.Takano, T.Tokizawa, N.Aoyagi, M.Ohnuma, T.Homma
- P51. Effect of Pb and Bi on resistance to humid gas stress corrosion cracking in 6000 series aluminum alloys
..... S.Aoshima, G.Itoh, A.Kurumada, S.Kuramoto, F.Yang, M.Nakajima, R.Akishino
- P52. Effect of HPT on aging behavior of Al-2.5Li-(2.0Mg) alloy
..... Y.Haizuka, K.Kawai, S.Lee, S.Saikawa, K.Matsuda, S.Hirosawa, Z.Horita, D.Terada
- P53. Thermomechanical treatment of Al-Cu-Mg alloys with different Cu/Mg ratio
..... R.Uchikawa, T.Nejigaki, A.Matsumoto, S.Lee, S.Ikeno, K.Matsuda
- P54. Analysis of local structure near a Ta atom in a Ti-20Ta alloy by using X-ray fluorescence holography
..... T.Yoshida, T.Yamamoto, K.Hayashi, N.Happo, S.Hosokawa
- P55. Influence of surface roughness on corrosion behavior of AZ31 magnesium alloy in simulated body fluid
..... R.Kobayashi, T.Hosaka, S.Yoshihara, B.J.MacDonald
- P56. Estimation of corrosion rate for Ca-added flame-resistant magnesium alloy in NaCl aqueous solution
..... M.Tsunakawa, Y.Shimada, K.Nakamura, T.Ishizaki
- P57. Effect of Ce or Nd addition on Mg-Y alloy
..... T.Hamaguchi, Y.Tomuro, S.Lee, S.Ikeno, K.Matsuda
- P58. Experimental and numerical analysis on magnetic pulse welding behaviour of Al/Fe joint
..... J.Li, J.Nishiwaki, T.Kambe, D.Yamagishi, S.Kumai
- P59. Effect of Calcium addition on dynamic compressive deformation behavior of magnesium
..... Y.Chikanari, T.Maeda, N.Ikeo, T.Mukai